

Вариант 1

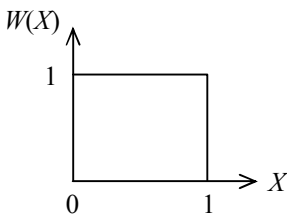
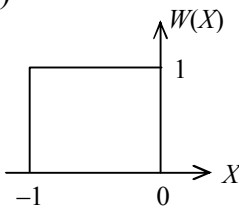
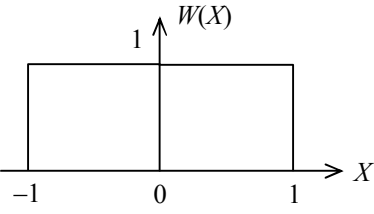
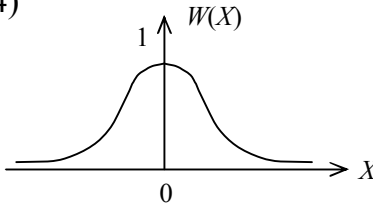
1	Моделирование это замещение объекта оригинала другим (моделью) с целью _____ информацию о свойствах объекта-оригинала 1) улучшить; 3) получить; 2) устранить; 4) заменить.																				
2	Моделями вычислительной системы являются 1) алгоритм работы; 3) компьютер; 2) принципиальная схема; 4) расчет надежности.																				
3	Линейный полином для описания статической системы с тремя входами имеет вид 1) $Y = b_0 + b_1X_1 + b_2X_2$; 3) $Y = b_0 + b_1X_1 + b_2X_2 + b_3X_3$; 2) $Y = b_0 + b_1X_1 + b_2X_2 + b_3X_1X_2$; 4) $Y = b_0 + b_1X_1X_2 + b_2X_1X_3 + b_3X_2X_3$.																				
4	Нижний X_H и верхний X_B уровни варьирования входной переменной X при планировании эксперимента определяются основным уровнем X_0 и половиной интервала варьирования ΔX с использованием соотношений 1) $X_H = X_0 - 2\Delta X$, $X_B = X_0 + 2\Delta X$; 3) $X_H = X_0 - \Delta X$, $X_B = X_0 + \Delta X$; 2) $X_H = X_0 - \frac{\Delta X}{2}$, $X_B = X_0 + \frac{\Delta X}{2}$; 4) $X_H = -1$, $X_B = +1$.																				
5	Свойства симметричности матрицы планирования эксперимента $N = 2^n$ 1) $\sum_{i=1}^N X_{ji} Y_i = 0$; 3) $\sum_{i=1}^N X_{ji} = 0$; 2) $\sum_{i=1}^N X_{ji}^2 = 0$; 4) $\sum_{i=1}^N X_{ji} X_{ki} = 0$.																				
6	Дробный эксперимент проводят тогда, когда есть основания полагать, что искомая модель 1) полиномиальная; 3) близка к линейной; 2) линейная; 4) нелинейная.																				
7	Для независимых повторных измерений Y_1, Y_2, \dots, Y_m дисперсия $D_c = D(\frac{1}{m} \sum_{i=1}^m Y_i)$ и $D_1 = D(Y_i)$ связаны соотношением 1) $D_c = D_1$; 3) $D_c = \frac{D_1}{m}$; 2) $D_1 = \frac{D_c}{m}$; 4) $D_c = \frac{D_1}{\sqrt{m}}$.																				
8	В результате эксперимента получены данные <table><tr><td>X_1</td><td>X_2</td><td>X_3</td><td>Y</td></tr><tr><td>-1</td><td>-1</td><td>+1</td><td>0,25</td></tr><tr><td>-1</td><td>+1</td><td>-1</td><td>-0,75</td></tr><tr><td>+1</td><td>-1</td><td>-1</td><td>-1,25</td></tr><tr><td>+1</td><td>+1</td><td>+1</td><td>1,75</td></tr></table> Наилучшим значением для коэффициента b_2 уравнения регрессии будет 1) -0,75; 3) -1; 5) -0,25; 7) 2; 2) 1; 4) 0; 6) -2; 8) 0,5.	X_1	X_2	X_3	Y	-1	-1	+1	0,25	-1	+1	-1	-0,75	+1	-1	-1	-1,25	+1	+1	+1	1,75
X_1	X_2	X_3	Y																		
-1	-1	+1	0,25																		
-1	+1	-1	-0,75																		
+1	-1	-1	-1,25																		
+1	+1	+1	1,75																		
9	Динамическими системами являются следующие 1) цифро-аналоговый преобразователь; 3) демультиплексор; 2) цифровой фильтр; 4) цифровой интегратор.																				

10	Количество разрядов m АЦП преобразуемой величины $X_{\min} \leq X \leq X_{\max}$ выбирается по заданной максимальной ошибке преобразования ΔX в соответствии с неравенством 1) $m > \frac{X_{\max} - X_{\min}}{\Delta X}$; 3) $2^m > \log_2 \frac{X_{\max} - X_{\min}}{\Delta X}$; 2) $2^m > \frac{X_{\max} - X_{\min}}{\Delta X}$; 4) $2^{m-1} > \frac{X_{\max} - X_{\min}}{\Delta X}$.
11	Рекурсивная модель дискретной динамической системы (реакция системы Y_k на действие сигнала X_k) определяется соотношением 1) $Y_k = \sum_{i=1}^n a_i Y_{k-i} + \sum_{i=1}^m b_i X_{k-i}$; 3) $Y_k = \sum_{i=0}^n a_i Y_{k-i} + \sum_{i=1}^m b_i X_{k-i}$; 2) $Y_k = \sum_{i=1}^n a_i Y_{i-k} + \sum_{i=0}^m b_i X_{i-k}$; 4) $Y_k = \sum_{i=1}^n a_i Y_{k-i} + \sum_{i=0}^m b_i X_{k-i}$.
12	Для расчета графа вычислительного процесса должны быть заданы 1) трудоемкости операторов; 2) трудоемкости операторов и вероятности переходов; 3) трудоемкости операторов, количество обращений к оператору и вероятности переходов; 4) трудоемкости операторов, количество обращений к оператору, вероятности переходов и количество циклов.
13	Среднее время простаивания в очереди в устройстве массового обслуживания с интенсивностью входного потока заявок λ и средним временным обслуживанием заявки τ равно 1) $\lambda\tau/(1-\lambda\tau)$; 3) $(1-\lambda\tau)^2/\lambda\tau$; 2) $(1-\lambda\tau)/\lambda\tau$; 4) $\lambda\tau^2/(1-\lambda\tau)$.
14	Отношение средних времен пребывания заявок в многопроцессорной системе с индивидуальной памятью U_1 и многопроцессорной системе с общей памятью U_2 при одинаковом количестве процессоров k определяется неравенством 1) $\frac{U_1}{U_2} > 1$; 3) $1 < \frac{U_1}{U_2} < k$; 2) $\frac{U_1}{U_2} < k$; 4) $1 < \frac{U_2}{U_1} < k$.
15	<p>Данная схема производит формирование сигнала</p> 1) $S = at + bt$; 3) $S = at^2 + bt$; 2) $S = abt^2$; 4) $S = at + bt^2$.

16	<p>Равномерный закон распределения стандартных случайных чисел X описывается соотношением</p> <div><div>1) $W(X) = \begin{cases} 1, & X < 0, & X > 1 \\ 0, & 0 \leq X \leq 1 \end{cases}$</div><div>2) $W(X) = \begin{cases} 1, & -1 \leq X \leq 1 \\ 0, & X < -1, & X > 1 \end{cases}$</div><div>3) $W(X) = \begin{cases} 1, & 0 \leq X \leq 1 \\ 0, & X < 0, & X > 1 \end{cases}$</div><div>4) $W(X) = \begin{cases} 1, & -1 \leq X \leq 0 \\ 0, & X < -1, & X > 0 \end{cases}$</div></div>																								
17	<p>Формирование случайных чисел Y с заданным законом распределения $W(Y)$, $a \leq Y \leq b$ методом Неймана производится выполнением действий</p> <p>М: формирование генератором стандартных равномерно распределенных чисел X_1 и X_2;</p> <div><div>1) $Y = b + X_1(b - a)$, вывод Y, если $X_2 W \max \geq W(Y)$; переход к М;</div><div>2) $Y = a + X_1(b - a)$, вывод Y, если $X_2 W \max < W(Y)$; переход к М;</div><div>3) $Y = b + X_1(b - a)$, вывод Y, если $X_2 W \max < W(Y)$; переход к М;</div><div>4) $Y = a + X_1(b - a)$, вывод Y, если $X_2 W \max > W(Y)$; переход к М.</div></div>																								
18	<p>Соотношение для формирования стандартных случайных гауссовских чисел Y на основе чисел X, вырабатываемых генератором равномерно распределенных чисел имеет вид</p> <div><div>1) $Y_k = \sum_{i=1}^{12} X_{ki} / 2$;</div><div>2) $Y_k = \sum_{i=1}^{12} (X_{ki} - 0,5)$;</div><div>3) $Y_k = \sum_{i=1}^{12} 2X_{ki}$;</div><div>4) $Y_k = \sum_{i=1}^{12} (X_{ki} + 0,5)$.</div></div>																								
19	<p>Оценка корреляционного момента параметров X и Y в результате имитационного моделирования рассчитывается по формуле</p> <div><div>1) $\frac{1}{N} \sum_{i=1}^N X_i Y_i$;</div><div>2) $\frac{1}{N} \sum_{i=1}^N X_i \cdot \frac{1}{N} \sum_{i=1}^N Y_i$;</div><div>3) $\sum_{i=1}^N (X_i - \frac{1}{N} \sum_{j=1}^N X_j)(Y_i - \frac{1}{N} \sum_{j=1}^N Y_j)$;</div><div>4) $\frac{1}{N} \sum_{i=1}^N (X_i - \frac{1}{N} \sum_{j=1}^N X_j)(Y_i - \frac{1}{N} \sum_{j=1}^N Y_j)$.</div></div>																								
20	<p>Этап исследования имитационной модели на ЭВМ включает следующее действия</p> <table><tr><td><input type="checkbox"/></td><td>1</td><td>Составление технической документации.</td></tr><tr><td><input type="checkbox"/></td><td>2</td><td>Определение требований к техническим средствам.</td></tr><tr><td><input type="checkbox"/></td><td>3</td><td>Представление результатов моделирования.</td></tr><tr><td><input type="checkbox"/></td><td>4</td><td>Планирование машинного эксперимента.</td></tr><tr><td><input type="checkbox"/></td><td>5</td><td>Проведение рабочих расчетов.</td></tr><tr><td><input type="checkbox"/></td><td>6</td><td>Анализ результатов моделирования системы.</td></tr><tr><td><input type="checkbox"/></td><td>7</td><td>Интерпретация результатов моделирования.</td></tr><tr><td><input type="checkbox"/></td><td>8</td><td>Подведение итогов моделирования и выдача результатов.</td></tr></table>	<input type="checkbox"/>	1	Составление технической документации.	<input type="checkbox"/>	2	Определение требований к техническим средствам.	<input type="checkbox"/>	3	Представление результатов моделирования.	<input type="checkbox"/>	4	Планирование машинного эксперимента.	<input type="checkbox"/>	5	Проведение рабочих расчетов.	<input type="checkbox"/>	6	Анализ результатов моделирования системы.	<input type="checkbox"/>	7	Интерпретация результатов моделирования.	<input type="checkbox"/>	8	Подведение итогов моделирования и выдача результатов.
<input type="checkbox"/>	1	Составление технической документации.																							
<input type="checkbox"/>	2	Определение требований к техническим средствам.																							
<input type="checkbox"/>	3	Представление результатов моделирования.																							
<input type="checkbox"/>	4	Планирование машинного эксперимента.																							
<input type="checkbox"/>	5	Проведение рабочих расчетов.																							
<input type="checkbox"/>	6	Анализ результатов моделирования системы.																							
<input type="checkbox"/>	7	Интерпретация результатов моделирования.																							
<input type="checkbox"/>	8	Подведение итогов моделирования и выдача результатов.																							

Вариант 2

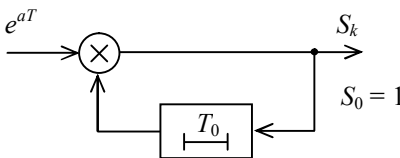
1	<p>Основные требования, предъявляемые к моделям</p> <div style="display: flex; justify-content: space-between;"> <div> 1) достоверность и качество; 2) адекватность и простота; </div> <div> 3) совершенство и надежность; 4) реализуемость и наглядность. </div> </div>
2	<p>Аналитические модели могут быть представлены следующими средствами</p> <div style="display: flex; justify-content: space-between;"> <div> 1) функциями и функционалами; 2) дифференциальными уравнениями; </div> <div> 3) знаковым описанием; 4) алгебраическими уравнениями. </div> </div>
3	<p>Коэффициенты полиномиальной модели статической системы определяют, проводя экспериментальные исследования</p> <div style="display: flex; justify-content: space-between;"> <div> 1) натурального образца; 2) физического макета; </div> <div> 3) аналитической модели; 4) имитационной модели. </div> </div>
4	<p>Переход от ненормированной переменной \tilde{X} к нормированной X при проведении эксперимента 2^n выполняется следующим образом</p> <div style="display: flex; justify-content: space-between;"> <div> 1) $X = \frac{\tilde{X} - \tilde{X}_0}{\Delta \tilde{X}};$ 2) $\tilde{X} = \frac{X - X_0}{\Delta X};$ </div> <div> 3) $X = \frac{\tilde{X} + \tilde{X}_0}{\Delta \tilde{X}};$ 4) $\tilde{X} = \frac{X + X_0}{\Delta X}.$ </div> </div>
5	<p>Свойство нормировки матрицы планирования эксперимента $N = 2^4$</p> <div style="display: flex; justify-content: space-between;"> <div> 1) $\sum_{i=1}^N X_{ji} X_{ki} = N;$ 2) $\sum_{i=1}^N X_j = N;$ </div> <div> 3) $\sum_{i=1}^N X_{ji}^2 X_{ki} = N;$ 4) $\sum_{i=1}^N X_{ji}^2 = N.$ </div> </div>
6	<p>Генерирующее соотношение при планировании дробного эксперимента и переходе от системы с двумя входами к системе с тремя входами имеет вид</p> <div style="display: flex; justify-content: space-between;"> <div> 1) $X_3 = X_1^2 X_2;$ 2) $X_3 = X_1 X_2;$ </div> <div> 3) $X_3 = X_1 X_2^2;$ 4) $X_3 = -X_1 X_2.$ </div> </div>
7	<p>При использовании повторных опытов с измерениями $Y_{i1}, Y_{i2}, \dots, Y_{im}$ в строке i матрицы планирования эксперимента $N = 2^n$ коэффициенты b_j уравнения регрессии рассчитываются по формуле</p> <div style="display: flex; justify-content: space-between;"> <div> 1) $b_j = \frac{1}{m} \sum_{i=1}^N (X_{ji} \sum_{k=1}^m Y_{ik});$ 2) $b_j = \frac{1}{N} \sum_{i=1}^N (X_{ji} \sum_{k=1}^m Y_{ik});$ </div> <div> 3) $b_j = \frac{1}{Nm} \sum_{i=1}^N (X_{ji} \sum_{k=1}^m Y_{ik});$ 4) $b_j = \sum_{i=1}^N (X_{ji} \sum_{k=1}^m Y_{ik}).$ </div> </div>
8	<p>Коэффициент b уравнения регрессии, определенном по данным эксперимента 2^n с m повторными опытами каждого вида значим, если при среднем квадратичном отклонении одного измерения σ выполняется условие в соответствии с критерием Стьюдента</p> <div style="display: flex; justify-content: space-between;"> <div> 1) $\frac{ b }{\sigma} > t_\alpha;$ 2) $\frac{\sqrt{mn}}{\sigma} b > t_\alpha;$ </div> <div> 3) $\frac{\sqrt{m2^n}}{\sigma} b > t_\alpha;$ 4) $\frac{\sqrt{mn}}{\sigma} b < t_\alpha.$ </div> </div>
9	<p>Дискретные динамические системы во времени описываются уравнениями</p> <div style="display: flex; justify-content: space-between;"> <div> 1) интегральными; 2) дифференциальными; 3) рекуррентными; 4) алгебраическими. </div> </div>

16	<p>Графическое изображение равномерного закона распределения стандартных случайных чисел X имеет вид</p> <div style="display: flex; justify-content: space-around;"> <div style="text-align: center;"> <p>1)</p>  </div> <div style="text-align: center;"> <p>2)</p>  </div> </div> <div style="display: flex; justify-content: space-around;"> <div style="text-align: center;"> <p>3)</p>  </div> <div style="text-align: center;"> <p>4)</p>  </div> </div>
17	<p>Импульсная реакция формирующего фильтра случайного сигнала связана с передаточной функцией фильтра соотношением</p> <div style="display: flex; justify-content: space-around;"> <div style="text-align: center;"> <p>1) $g(t) = \int_0^{\infty} K(\omega) e^{j\omega t} d\omega$;</p> <p>2) $g(t) = \frac{1}{2\pi} \int_{-\infty}^{\infty} K(\omega) e^{j\omega t} d\omega$;</p> </div> <div style="text-align: center;"> <p>3) $g(t) = \frac{1}{2\pi} \int_{-\infty}^{\infty} K(\omega) \cos \omega t d\omega$</p> <p>4) $g(t) = \frac{1}{2\pi} \int_0^{\infty} K(\omega) e^{j\omega t} d\omega$</p> </div> </div>
18	<p>Формирование случайных чисел Y, распределенных по закону $\lambda e^{-\lambda Y}$, $Y \geq 0$ на основе генератора равномерных стандартных случайных чисел X производится с использованием функционального преобразования</p> <div style="display: flex; justify-content: space-around;"> <div style="text-align: center;"> <p>1) $Y = -\frac{\ln(1-X)}{\lambda}$;</p> <p>2) $Y = \frac{\ln(1-X)}{\lambda}$;</p> </div> <div style="text-align: center;"> <p>3) $Y = -\lambda \ln(1-X)$;</p> <p>4) $Y = \lambda \ln(X-1)$.</p> </div> </div>
19	<p>Оценка среднего квадратического отклонения параметра Y в результате имитационного моделирования рассчитывается по формуле</p> <div style="display: flex; justify-content: space-around;"> <div style="text-align: center;"> <p>1) $\sqrt{\frac{1}{N} \sum_{i=1}^N Y_i^2}$;</p> <p>2) $\sqrt{\frac{1}{N} \sum_{i=1}^N (Y_i - \frac{1}{N} \sum_{j=1}^N Y_j)^2}$;</p> </div> <div style="text-align: center;"> <p>3) $\frac{1}{N} \sqrt{\sum_{i=1}^N (Y_i - \frac{1}{N} \sum_{j=1}^N Y_j)^2}$;</p> <p>4) $\frac{1}{N} \sum_{i=1}^N (Y_i - \frac{1}{N} \sum_{j=1}^N Y_j)^2$.</p> </div> </div>
20	<p>Недостатком имитационных моделей на основе процедурного ориентированных языков является</p> <ol style="list-style-type: none"> 1) невозможность описания некоторых объектов; 2) нереализуемость описания; 3) большое время исследования; 4) трудность программирования; 5) сложность модели; 6) сложность исследования модели.

Вариант 3

1	<p>Последовательные фазы абстрагирования объекта при переходе к модели</p> <ol style="list-style-type: none"> 1) качественная и количественная; 2) материальная и нематериальная; 3) реальная и нереальная; 4) физическая и математическая.
2	<p>В основе моделирования лежит принцип</p> <ol style="list-style-type: none"> 1) аналогии; 2) подобия; 3) тождественности; 4) сущности.
3	<p>Наилучшим уравнением регрессии $Y_x = b_0 + b_1 X$ системы с одним входом по результатам проведения опытов $i=1, 2, \dots, N$, в каждом из которых для X_i выходное значение равно Y_i, является такое, которое обеспечивает минимум суммы</p> <div style="display: flex; flex-wrap: wrap;"> <div style="width: 50%;"> <ol style="list-style-type: none"> 1) $\sum_{i=1}^N (Y_i - b_0 - b_1 X_i)$; 2) $\sum_{i=1}^N (Y_{xi} - b_0 - b_1 X_i)$; </div> <div style="width: 50%;"> <ol style="list-style-type: none"> 3) $\sum_{i=1}^N (Y_i - b_0 - b_1 X_i)^2$; 4) $\sum_{i=1}^N (Y_{xi} - b_0 - b_1 X_i)^2$. </div> </div>
4	<p>Нормировка входных переменных при полном эксперименте 2^n для системы с n входами производя для упрощения</p> <ol style="list-style-type: none"> 1) вычисления коэффициентов модели; 2) модели; 3) экспериментальных исследований; 4) процесса моделирования.
5	<p>Свойство ортогональности матрицы планирования эксперимента $N=2^n$</p> <div style="display: flex; flex-wrap: wrap;"> <div style="width: 50%;"> <ol style="list-style-type: none"> 1) $\sum_{i=1}^N X_{ji}^2 X_{ki} = 0$; 2) $\sum_{i=1}^N X_{ji} X_{ki} = 0$; </div> <div style="width: 50%;"> <ol style="list-style-type: none"> 3) $\sum_{i=1}^N X_{ji} = 0$; 4) $\sum_{i=1}^N X_{ji}^2 = 0$. </div> </div>
6	<p>Минимальное количество опытов при дробном эксперименте и сохранении свойств матрицы планирования для системы с четырьмя входами равно</p> <div style="display: flex; flex-wrap: wrap;"> <div style="width: 25%;"> <ol style="list-style-type: none"> 1) 10; 2) 5; </div> <div style="width: 25%;"> <ol style="list-style-type: none"> 3) 8; 4) 14; </div> <div style="width: 25%;"> <ol style="list-style-type: none"> 5) 10; 6) 4; </div> <div style="width: 25%;"> <ol style="list-style-type: none"> 7) 16; 8) 12. </div> </div>
7	<p>Грубое измерение Y_i в серии повторных Y_1, Y_2, \dots, Y_m отбрасывается, если при среднем квадратическом отклонении одного измерения σ и пороговом уровне t_α выполняется условие по критерию Стьюдента</p> <div style="display: flex; flex-wrap: wrap;"> <div style="width: 50%;"> <ol style="list-style-type: none"> 1) $Y_i - \frac{1}{m} \sum_{i=1}^m Y_i > \sigma t_\alpha$; 2) $Y_i - \frac{1}{m} \sum_{i=1}^m Y_i \leq \sigma t_\alpha$; </div> <div style="width: 50%;"> <ol style="list-style-type: none"> 3) $\left Y_i - \frac{1}{m} \sum_{i=1}^m Y_i \right > \sigma t_\alpha$; 4) $\left(Y_i - \frac{1}{m} \sum_{i=1}^m Y_i \right)^2 > \sigma t_\alpha$. </div> </div>

8	<p>В результате эксперимента получены данные</p> <table><tr><td>X_1</td><td>X_2</td><td>Y</td></tr><tr><td>-1</td><td>-1</td><td>-1,25</td></tr><tr><td>+1</td><td>-1</td><td>1,25</td></tr><tr><td>-1</td><td>+1</td><td>1,25</td></tr><tr><td>+1</td><td>+1</td><td>2,75</td></tr></table> <p>Наилучшее значение коэффициента b_0 в уравнении регрессии будет</p> <p>1) 0; 3) -2; 5) 1; 7) 4; 2) 2; 4) -1; 6) 1,25; 8) -4.</p>	X_1	X_2	Y	-1	-1	-1,25	+1	-1	1,25	-1	+1	1,25	+1	+1	2,75
X_1	X_2	Y														
-1	-1	-1,25														
+1	-1	1,25														
-1	+1	1,25														
+1	+1	2,75														
9	<p>Аналоговые динамические системы во времени описываются уравнениями</p> <p>1) алгебраическими; 2) разностными; 3) дифференциальными; 4) рекуррентными.</p>															
10	<p>Реакция линейной аналоговой динамической системы $Y(t)$ на действие входного сигнала $X(t)$ при нулевых начальных условиях определяется интегралом Дюамеля</p> <p>1) $Y(t) = \int_0^{\infty} X(\theta)g(t-\theta)d\theta$; 3) $Y(t) = \int_0^t X(\theta)g(t-\theta)d\theta$; 2) $Y(t) = \int_0^{\infty} X(t-\theta)g(\theta)d\theta$; 4) $Y(t) = \int_0^t X(\theta)g(\theta)d\theta$.</p>															
11	<p>Дифференциальному уравнению $\frac{dY(t)}{dt} + aY(t) = bX(t)$ соответствует рекуррентное</p> <p>1) $Y_k = \frac{aT_0}{1+aT_0}Y_{k-1} + \frac{bT_0}{1+aT_0}X_a$; 3) $Y_k = \frac{1}{1+aT_0}Y_{k-1} + \frac{bT_0}{1+aT_0}X_k$; 2) $Y_k = aT_0Y_{k-1} + bT_0X_k$; 4) $Y_k = (1+aT_0)Y_{k-1} + (1+aT_0)X_{k-1}$.</p>															
12	<p>Трудоемкость вычислительного процесса, содержащего операторы $j = 1, 2, \dots, n$ с трудоемкостью q_j, выполняемых m_j раз равна</p> <p>1) $\frac{1}{n} \sum_{j=1}^n m_j q_i$; 3) $\sum_{j=1}^n m_j q_j$; 2) $\sum_{j=1}^n m_j q_i / \sum_{j=1}^n m_j$; 4) $\sum_{j=1}^n \frac{q_j}{m_j}$.</p>															
13	<p>Среднее время пребывания заявки в устройстве массового обслуживания с интенсивностью входного потока заявок λ и временем обслуживания τ равна</p> <p>1) $\tau(1 - \lambda\tau)$; 3) $(1 - \lambda\tau)/\tau$; 2) $\tau/(\lambda\tau - 1)$; 4) $\tau/(1 - \lambda\tau)^2$.</p>															
14	<p>Отношение средних времен простаивания в очередях в многопроцессорной системе с индивидуальной памятью W_1 и многопроцессорной системе с общей памятью W_2 при одинаковом количестве процессоров k определяется неравенством</p> <p>1) $0 < \frac{W_1}{W_2} < 1$; 3) $0 < \frac{W_2}{W_1} < 1$; 2) $1 < \frac{W_1}{W_2} < \infty$; 4) $1 < \frac{W_2}{W_1} < \infty$.</p>															

15	<div></div> <p>Данная схема производит формирование сигнала</p> <div><div>1) $S = e^{-at}$;</div><div>3) $S = at + b$;</div></div> <div><div>2) $S = e^{at}$;</div><div>4) $S = -at + b$.</div></div>
16	<p>Математическое ожидание для равномерного закона распределения стандартных случайных чисел равно</p> <div><div>1) 1;</div><div>3) 0;</div><div>5) -1;</div><div>7) $-\frac{1}{4}$;</div></div> <div><div>2) $\frac{1}{4}$;</div><div>4) $\frac{1}{12}$;</div><div>6) $\frac{1}{2}$;</div><div>8) $-\frac{1}{2}$.</div></div>
17	<p>Передаточная функция фильтра $K(\omega)$, формирующего случайный стационарный гауссовский сигнал связан с энергетическим спектром сигнала $S(\omega)$ соотношением</p> <div><div>1) $K(\omega) = \sqrt{\frac{\omega_c S(\omega)}{\pi}}$;</div><div>3) $K(\omega) = \frac{\omega_c}{\pi} \sqrt{S(\omega)}$;</div></div> <div><div>2) $K(\omega) = \sqrt{\frac{\omega_c}{\pi}} S(\omega)$;</div><div>4) $K(\omega) = \frac{\omega_c}{\pi} S(\omega)$.</div></div>
18	<p>Формирование стандартных случайных чисел Y, распределенных по нормальному закону производится преобразованием стандартных равномерно распределенных чисел X с использованием соотношения</p> <div><div>1) $\frac{1}{\sqrt{2\pi}} \int_{-\infty}^Y e^{-y^2} dx = X$;</div><div>3) $\frac{1}{\sqrt{2\pi}} \int_{-\infty}^{\infty} e^{-\frac{y^2}{2}} dx = X$;</div></div> <div><div>2) $\frac{1}{\sqrt{2\pi}} \int_{-\infty}^Y e^{-\frac{y^2}{2}} dx = X$;</div><div>4) $\frac{1}{\sqrt{2\pi}} \int_0^{\infty} e^{-\frac{y^2}{2}} dx = X$.</div></div>
19	<p>Оценка дисперсии параметра Y в результате имитационного моделирования рассчитывается по формуле</p> <div><div>1) $\frac{1}{N} \sum_{i=1}^N (Y_i - \frac{1}{N} \sum_{j=1}^N Y_j)^2$;</div><div>3) $\frac{1}{N} \sum_{i=1}^N Y_i^2 - (\frac{1}{N} \sum_{i=1}^N Y_i)^2$;</div></div> <div><div>2) $\frac{1}{N} \sum_{i=1}^N Y_i^2$;</div><div>4) $\frac{1}{N-1} \sum_{i=1}^N Y_i^2$.</div></div>
20	<p>Этап разработки имитационной модели включает следующие действия</p> <div><div><div></div><div></div><div></div><div></div><div></div><div></div><div></div><div></div><div></div><div></div></div><div><div>1. Составление плана по программированию;</div><div>2. Выбор вычислительных средств для моделирования;</div><div>3. Построение логической схемы модели;</div><div>4. Проверка достоверности модели;</div><div>5. Получение математических соотношений;</div><div>6. Составление технической документации;</div><div>7. Построение схемы программы;</div><div>8. Проверка достоверности схемы программы;</div><div>9. Проведение программирования модели;</div><div>10. Проверка достоверности программы.</div></div></div>

Вариант 4

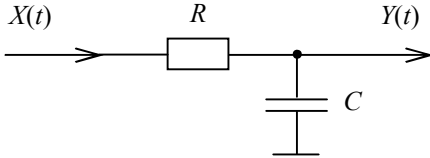
1	<p>Мысленные модели делятся на</p> <ol style="list-style-type: none"> 1) наглядные и математические; 2) наглядные и символические; 3) символические и математические; 4) наглядные, символические и математические.
2	<p>Моделями вычислительной системы являются</p> <ol style="list-style-type: none"> 1) функциональная схема; 2) компьютерная сеть; 3) тепловой расчет; 4) чертеж конструкции.
3	<p>Линейный полином для описания статической системы с двумя входами имеет вид</p> <ol style="list-style-type: none"> 1) $Y = b_0 + b_1X_1$; 2) $Y = b_0 + b_1X_1 + b_2X_2 + b_3X_1X_2$; 3) $Y = b_0 + b_2X_2$; 4) $Y = b_0 + b_1X_1 + b_2X_2$.
4	<p>Коэффициенты b_j уравнения регрессии с нормированными входными переменными X_j рассчитываются при эксперименте $N = 2^n$ с использованием статистики Y_1, Y_2, \dots, Y_N следующим образом</p> <ol style="list-style-type: none"> 1) $b_j = \frac{1}{N} \sum_{i=1}^N Y_i$; 2) $b_j = \frac{1}{N} \sum_{i=1}^N X_{ji}^2 Y_i$; 3) $b_j = \frac{1}{N} \sum_{i=1}^N X_{ji} Y_i$; 4) $b_j = \frac{1}{N} \sum_{i=1}^N X_{ji} Y_i^2$.
5	<p>Какое максимальное количество коэффициентов полиномиальной модели системы с четырьмя входами можно определить при экспериментальных исследованиях, в которых каждой входной переменной задается 2 значения?</p> <ol style="list-style-type: none"> 1) 8; 2) 16; 3) 12; 4) 4; 5) 6; 6) 10; 7) 5; 8) 32.
6	<p>Лучшее генерирующее соотношение при планировании дробного эксперимента и переходе от системы с тремя входами к системе с четырьмя имеет вид</p> <ol style="list-style-type: none"> 1) $X_4 = X_2X_3$; 2) $X_4 = X_1X_3$; 3) $X_4 = X_1X_2X_3$; 4) $X_4 = -X_2X_3$; 5) $X_4 = -X_1X_3$; 6) $X_4 = -X_1X_2X_3$; 7) $X_4 = X_1X_2$; 8) $X_4 = -X_1X_2$.
7	<p>Эксперимент однороден, если при анализе строчных дисперсий S_i матрицы планирования выполняется условие по критерию Фишера</p> <ol style="list-style-type: none"> 1) $\frac{S_{\max}}{S_{\min}} - 1 < F_\alpha$; 2) $S_{\max} - \frac{1}{N} \sum_{i=1}^N S_i < F_\alpha$; 3) $\frac{S_{\max}}{S_{\min}} > F_\alpha$; 4) $\frac{S_{\max}}{S_{\min}} \leq F_\alpha$.

8	<p>В результате эксперимента получены данные</p> <table><tr><td>X_1</td><td>X_2</td><td>X_3</td><td>Y</td></tr><tr><td>-1</td><td>-1</td><td>+1</td><td>0,25</td></tr><tr><td>-1</td><td>+1</td><td>-1</td><td>-0,75</td></tr><tr><td>+1</td><td>-1</td><td>-1</td><td>-1,25</td></tr><tr><td>+1</td><td>+1</td><td>+1</td><td>1,75</td></tr></table> <p>Наилучшим значением для коэффициента b_3 уравнения расчетами будет</p> <p>1) 2; 3) -2; 5) -4; 7) -1; 2) 4; 4) 0; 6) 1; 8) 5.</p>	X_1	X_2	X_3	Y	-1	-1	+1	0,25	-1	+1	-1	-0,75	+1	-1	-1	-1,25	+1	+1	+1	1,75
X_1	X_2	X_3	Y																		
-1	-1	+1	0,25																		
-1	+1	-1	-0,75																		
+1	-1	-1	-1,25																		
+1	+1	+1	1,75																		
9	<p>Импульсная реакция дискретной динамической системы c_i связана с импульсной реакцией своего прототипа – аналоговой системы g_i в дискретные моменты времени iT_0 соотношением</p> <p>1) $c_i = T_0 g_i^2$; 3) $c_i = T_0 g_i$; 2) $g_i = T_0 c_i$; 4) $c_i = T_0^2 g_i$.</p>																				
10	<p>Реакция линейной аналоговой динамической системы $Y(t)$ на действие входного сигнала $X(t)$ при нулевых начальных условиях определяется интегралом Дюамеля</p> <p>1) $Y(t) = \int_0^t X(t-\theta)g(\theta)d\theta$; 3) $Y(t) = \int_0^t X(t)g(t)dt$; 2) $Y(t) = \int_0^\infty X(t-\theta)g(\theta)d\theta$; 4) $Y(t) = \int_0^\infty X(\theta)g(t-\theta)d\theta$.</p>																				
11	<p>Структура</p> <p>реализует следующие рекурсивные вычисления</p> <p>1) $Y_k = aY_{k-2} + bX_{k-1}$; 3) $Y_k = -abY_{k-3} + bX_{k-1}$; 2) $Y_k = -abY_{k-3} + X_k$; 4) $Y_k = abY_{k-3} + bX_{k-1}$.</p>																				
12	<p>Трудоемкость цикла с вероятностью возврата в начало цикла p определяется соотношением</p> <p>1) $(1-p)q$; 3) $\frac{q}{p}$; 2) pq; 4) $\frac{q}{1-p}$.</p>																				
13	<p>Интенсивность входного потока заявок для устройства $j = 1, 2, \dots, n$ системы массового обслуживания равна</p> <p>1) $\sum_{i=1}^n \lambda_i, i \neq j$; 3) $\sum_{i=1}^n p_{ij} \lambda_i$; 2) $\sum_{i=1}^n (1-p_{ij}) \lambda_i$; 4) $\frac{1}{n} \sum_{i=1}^n p_{ij} \lambda_i$.</p>																				

20	<p data-bbox="240 120 1412 192">Этап создания концептуальной имитационной модели включает следующее действие</p> <table border="1" data-bbox="240 192 1412 551"> <tr><td data-bbox="240 192 304 232">1.</td><td data-bbox="304 192 1412 232">Определение параметров и переменных модели.</td></tr> <tr><td data-bbox="240 232 304 273">2.</td><td data-bbox="304 232 1412 273">Составление технической документации.</td></tr> <tr><td data-bbox="240 273 304 313">3.</td><td data-bbox="304 273 1412 313">Обоснование критериев эффективности системы.</td></tr> <tr><td data-bbox="240 313 304 353">4.</td><td data-bbox="304 313 1412 353">Постановка и анализ задания машинного моделирования системы.</td></tr> <tr><td data-bbox="240 353 304 394">5.</td><td data-bbox="304 353 1412 394">Описание концептуальной модели системы.</td></tr> <tr><td data-bbox="240 394 304 479">6.</td><td data-bbox="304 394 1412 479">Определение требований к исходной информации об объектах моделирования.</td></tr> <tr><td data-bbox="240 479 304 519">7.</td><td data-bbox="304 479 1412 519">Проверка достоверности модели.</td></tr> <tr><td data-bbox="240 519 304 551">8.</td><td data-bbox="304 519 1412 551">Установление основного содержания модели.</td></tr> </table>	1.	Определение параметров и переменных модели.	2.	Составление технической документации.	3.	Обоснование критериев эффективности системы.	4.	Постановка и анализ задания машинного моделирования системы.	5.	Описание концептуальной модели системы.	6.	Определение требований к исходной информации об объектах моделирования.	7.	Проверка достоверности модели.	8.	Установление основного содержания модели.
1.	Определение параметров и переменных модели.																
2.	Составление технической документации.																
3.	Обоснование критериев эффективности системы.																
4.	Постановка и анализ задания машинного моделирования системы.																
5.	Описание концептуальной модели системы.																
6.	Определение требований к исходной информации об объектах моделирования.																
7.	Проверка достоверности модели.																
8.	Установление основного содержания модели.																

Вариант 5

1	Реальные модели классифицируются на 1) качественные и количественные; 2) адекватные и неадекватные; 3) натурные и физические; 4) детерминированные и случайные.																																																																																																				
2	Алгоритм моделирования <table><tr><td></td><td>1. Выбор модели.</td></tr><tr><td></td><td>2. Определение исследуемых свойств оригинала.</td></tr><tr><td></td><td>3. Исследование модели.</td></tr><tr><td></td><td>4. Проверка получения результатов.</td></tr><tr><td></td><td>5. Перенос результатов исследования модели на оригинал.</td></tr></table>		1. Выбор модели.		2. Определение исследуемых свойств оригинала.		3. Исследование модели.		4. Проверка получения результатов.		5. Перенос результатов исследования модели на оригинал.																																																																																										
	1. Выбор модели.																																																																																																				
	2. Определение исследуемых свойств оригинала.																																																																																																				
	3. Исследование модели.																																																																																																				
	4. Проверка получения результатов.																																																																																																				
	5. Перенос результатов исследования модели на оригинал.																																																																																																				
3	В результате обработки статистических данных экспериментального исследования статической системы определяется 1) функция связи; 3) уравнение регрессии; 2) адекватность модели; 4) аналитическое описание.																																																																																																				
4	Матрица планирования для эксперимента 2^2 имеет вид 1) <table><tr><td>i</td><td>X_1</td><td>X_2</td><td>X_1X_2</td><td>Y</td></tr><tr><td>1</td><td>-1</td><td>-1</td><td>-1</td><td></td></tr><tr><td>2</td><td>+1</td><td>-1</td><td>+1</td><td></td></tr><tr><td>3</td><td>-1</td><td>+1</td><td>+1</td><td></td></tr><tr><td>4</td><td>+1</td><td>+1</td><td>-1</td><td></td></tr></table> 3) <table><tr><td>i</td><td>X_1</td><td>X_2</td><td>X_1X_2</td><td>Y</td></tr><tr><td>1</td><td>-1</td><td>-1</td><td>+1</td><td></td></tr><tr><td>2</td><td>+1</td><td>-1</td><td>+1</td><td></td></tr><tr><td>3</td><td>-1</td><td>+1</td><td>-1</td><td></td></tr><tr><td>4</td><td>+1</td><td>+1</td><td>-1</td><td></td></tr></table> 2) <table><tr><td>i</td><td>X_1</td><td>X_2</td><td>X_1X_2</td><td>Y</td></tr><tr><td>1</td><td>+1</td><td>+1</td><td>+1</td><td></td></tr><tr><td>2</td><td>-1</td><td>+1</td><td>-1</td><td></td></tr><tr><td>3</td><td>+1</td><td>-1</td><td>-1</td><td></td></tr><tr><td>4</td><td>-1</td><td>-1</td><td>+1</td><td></td></tr></table> 4) <table><tr><td>i</td><td>X_1</td><td>X_2</td><td>X_1X_2</td><td>Y</td></tr><tr><td>1</td><td>-1</td><td>-1</td><td>+1</td><td></td></tr><tr><td>2</td><td>+1</td><td>-1</td><td>-1</td><td></td></tr><tr><td>3</td><td>-1</td><td>+1</td><td>-1</td><td></td></tr><tr><td>4</td><td>+1</td><td>+1</td><td>+1</td><td></td></tr></table>	i	X_1	X_2	X_1X_2	Y	1	-1	-1	-1		2	+1	-1	+1		3	-1	+1	+1		4	+1	+1	-1		i	X_1	X_2	X_1X_2	Y	1	-1	-1	+1		2	+1	-1	+1		3	-1	+1	-1		4	+1	+1	-1		i	X_1	X_2	X_1X_2	Y	1	+1	+1	+1		2	-1	+1	-1		3	+1	-1	-1		4	-1	-1	+1		i	X_1	X_2	X_1X_2	Y	1	-1	-1	+1		2	+1	-1	-1		3	-1	+1	-1		4	+1	+1	+1	
i	X_1	X_2	X_1X_2	Y																																																																																																	
1	-1	-1	-1																																																																																																		
2	+1	-1	+1																																																																																																		
3	-1	+1	+1																																																																																																		
4	+1	+1	-1																																																																																																		
i	X_1	X_2	X_1X_2	Y																																																																																																	
1	-1	-1	+1																																																																																																		
2	+1	-1	+1																																																																																																		
3	-1	+1	-1																																																																																																		
4	+1	+1	-1																																																																																																		
i	X_1	X_2	X_1X_2	Y																																																																																																	
1	+1	+1	+1																																																																																																		
2	-1	+1	-1																																																																																																		
3	+1	-1	-1																																																																																																		
4	-1	-1	+1																																																																																																		
i	X_1	X_2	X_1X_2	Y																																																																																																	
1	-1	-1	+1																																																																																																		
2	+1	-1	-1																																																																																																		
3	-1	+1	-1																																																																																																		
4	+1	+1	+1																																																																																																		
5	Полная модель при эксперименте 2^3 имеет вид 1) $Y = b_0 + b_1X_1 + b_2X_2 + b_3X_1X_2$; 2) $Y = b_0 + b_1X_1 + b_2X_2 + b_3X_3$; 3) $Y = b_0 + b_1X_1 + b_2X_2 + b_3X_1X_2 + b_4X_1^2 + b_5X_2^2$; 4) $Y = b_0 + b_1X_1 + b_2X_2 + b_3X_3 + b_4X_1X_2 + b_5X_1X_3 + b_6X_2X_3 + b_7X_1X_2X_3$.																																																																																																				
6	Минимальное количество опытов при дробном эксперименте и сохранении свойств матрицы планирования для системы с восемью входами равно 1) 4; 3) 8; 5) 32; 7) 64; 2) 9; 4) 16; 6) 24; 8) 128.																																																																																																				
7	Коэффициент b уравнения регрессии, определенном по данным эксперимента 2^n с m повторными опытами каждого вида значим, если при среднем квадратическом отклонении одного измерения σ выполняется условие в соответствии с критерием Стьюдента 1) $\frac{\sqrt{m2^n}}{\sigma} b > t_\alpha$; 3) $\frac{\sigma}{\sqrt{mn}} b > t_\alpha$; 2) $\frac{ b }{\sigma} > t_\alpha$; 4) $\frac{\sqrt{mn}}{\sigma}b > t_\alpha$.																																																																																																				

8	<p>Для уменьшения влияния случайных ошибок статистика из повторных измерений Y_1, Y_2, \dots, Y_m обрабатывается следующим образом</p> <p>1) $\frac{1}{m-1} \sum_{i=1}^m Y_i$; 3) $(Y_{\max} + Y_{\min})/2$;</p> <p>2) $\frac{1}{m} \sum_{i=1}^m Y_i$; 4) $\sum_{i=1}^m Y_i$.</p>
9	<p>Импульсная реакция аналоговой динамической системы это реакция на действие</p> <p>1) ступенчатого сигнала единичной амплитуды;</p> <p>2) короткого импульса прямоугольной формы;</p> <p>3) короткого импульса единичной площади;</p> <p>4) короткого импульса единичной амплитуды</p>
10	<p>Реакция линейной дискретной динамической системы Y_k на действие входного сигнала X_k при нулевых начальных условиях определяется выражением «свертка» (нерекурсивная модель)</p> <p>1) $Y_k = \sum_{j=0}^{\infty} X_j c_{k-j}$; 3) $Y_k = \sum_{j=0}^{\infty} X_{k-j} c_j$;</p> <p>2) $Y_k = \sum_{j=0}^k X_j c_j$; 4) $Y_k = \sum_{j=0}^k X_j c_{k-j}$.</p>
11	<p>Частота дискретизации сигнала $100\cos 1000t$ определяется соотношением</p> <p>1) $F_0 \geq \frac{10^3}{2\pi}$; 3) $F_0 \geq \frac{10^3}{\pi}$;</p> <p>2) $F_0 \leq \frac{100}{\pi}$; 4) $F_0 \leq 10^3$.</p>
12	<p>Модель динамической системы</p>  <p>имеет следующий вид</p> <p>1) $\frac{1}{RC} \frac{dY(t)}{dt} + Y(t) = X(t)$; 3) $RC \frac{dY(t)}{dt} + Y(t) = X(t)$;</p> <p>2) $\frac{dY(t)}{dt} + \frac{1}{RC} Y(t) = X(t)$; 4) $\frac{dY(t)}{dt} + Y(t) = \frac{1}{RC} X(t)$.</p>
13	<p>Среднее время пребывания заявки в вычислительном устройстве массового обслуживания</p> <p>1) равно времени обработки заявки;</p> <p>2) равно или превышает время обработки заявки;</p> <p>3) превышает время обработки заявки;</p> <p>4) меньше времени обработки заявки.</p>
14	<p>Среднее время ожидания заявки в системе массового обслуживания с интенсивностью входного потока заявок λ_0, содержащей устройства $j = 1, 2, \dots, n$ со средним временным ожиданием в каждом w_j равно</p> <p>1) $\frac{1}{n} \sum_{j=1}^n \frac{\lambda_j}{\lambda_0} w_j$; 3) $\frac{1}{n} \sum_{j=1}^n \frac{\lambda_0}{\lambda_j} w_j$;</p> <p>2) $\lambda_0 \sum_{j=1}^n w_j$; 4) $\sum_{j=1}^n \frac{\lambda_j}{\lambda_0} w_j$.</p>

15	Рекуррентное уравнение для формирования сигнала $S = \sin\omega t$ имеет вид 1) $S_k = \sin(\omega T_0)S_{k-1}$; 3); $S_k = 2\sin(\omega T_0)S_{k-1} + S_{k-2}$ 2) $S_k = 2\sin(\omega T_0)S_{k-1} - S_{k-2}$; 4) $S_k = 2\cos(\omega T_0)S_{k-1} - S_{k-2}$.
16	Среднее квадратическое отклонение для равномерного закона распределения стандартных случайных чисел равно 1) $-\frac{1}{2\sqrt{3}}$; 3) 1; 5) 0; 7) -1 ; 2) $\frac{1}{2}$; 4) $\frac{1}{4}$; 6) $\frac{1}{12}$; 8) $\frac{1}{2\sqrt{3}}$.
17	Корреляционная функция $R(t)$ и энергетический спектр случайного сигнала $S(\omega)$ связаны преобразованием Фурье 1) $S(\omega) = \int_{-\infty}^{\omega} R(\tau)e^{j\omega\tau} d\tau$; 3) $S(\omega) = \int_{-\infty}^{\infty} R(\tau)e^{j\omega\tau} d\tau$ 2) $S(\omega) = \int_0^{\infty} R(\tau)e^{j\omega\tau} d\tau$; 4) $S(\omega) = \int_{-\infty}^{\infty} R(\tau)e^{-j\omega\tau} d\tau$.
18	При формировании случайных чисел Y , распределенных по закону $\lambda e^{-\lambda Y}$, $0 \leq Y \leq b$ на основе снимаемых с генератора стандартных равномерно распределенных чисел X_1 и X_2 методом Неймана используются соотношения 1) $Y = bX_1, X_2 > e^{-\lambda Y}$; 3) $Y = \lambda bX_1, X_2 < e^{-\lambda Y}$; 2) $Y = \frac{X_1}{b}, X_2 < e^{-\lambda Y}$; 4) $Y = bX_1, X_2 < e^{-\lambda Y}$.
19	Этап исследования имитационной модели на ЭВМ включает в себя следующие действия <div style="display: flex;"> <div style="width: 30px;"></div> <div> 1. Проведение рабочих расчетов. 2. Определение требований к вычислительным средствам. 3. Планирование машинного эксперимента. 4. Представление результатов моделирования. 5. Интерпретация результатов моделирования. 6. Составление технической документации. 7. Подведение итогов моделирования и выдача результатов. 8. Анализ результатов моделирования системы. </div> </div>
20	Оценка дисперсии параметра Y в результате имитационного моделирования рассчитывается по формуле 1) $\frac{1}{N} \sum_{i=1}^N Y_i^2$; 3) $\frac{1}{N-1} \sum_{i=1}^N Y_i^2 - (\frac{1}{N} \sum_{i=1}^N Y_i)^2$; 2) $\frac{1}{N} \sum_{i=1}^N Y_i^2 - (\frac{1}{N} \sum_{i=1}^N Y_i)^2$; 4) $\sqrt{\frac{1}{N} \sum_{i=1}^N Y_i^2}$.

Вариант 6

1	<p>Математические модели делятся на</p> <ol style="list-style-type: none"> 1) аналитические и практические; 2) теоретические и имитационные; 3) имитационные и практические; 4) аналитические и имитационные. 										
2	<p>Аналитические модели могут быть представлены следующими средствами</p> <ol style="list-style-type: none"> 1) языковым описанием; 2) разностными уравнениями; 3) действительными или комплексными величинами; 4) статистиками. 										
3	<p>Наилучшим уравнением регрессии $Y_X = b_0 + b_1 X$ по результатам обработки статических исследований и вычисления средних арифметических значений \bar{X}, \bar{Y}, средних квадратических отклонений σ_X, σ_Y и коэффициента корреляции r является такое, для которого коэффициенты b_0, b_1 рассчитываются следующим образом</p> <ol style="list-style-type: none"> 1) $b_0 = \bar{X} - b_1 \bar{Y}$, $b_1 = r \frac{\sigma_Y}{\sigma_X}$; 2) $b_0 = \bar{X} - b_1 \bar{Y}$, $b_1 = r \frac{\sigma_X}{\sigma_Y}$; 3) $b_0 = \bar{Y} - b_1 \bar{X}$, $b_1 = r \frac{\sigma_Y}{\sigma_X}$; 4) $b_0 = \bar{Y} - b_1 \bar{X}$, $b_1 = r \frac{\sigma_X}{\sigma_Y}$. 										
4	<p>Полный эксперимент 2^n, включает следующую последовательность действий</p> <table border="1"> <tr><td><input type="checkbox"/></td><td>1. Составление матрицы планирования.</td></tr> <tr><td><input type="checkbox"/></td><td>2. Выбор уровня входных переменных.</td></tr> <tr><td><input type="checkbox"/></td><td>3. Проведение экспериментальных исследований.</td></tr> <tr><td><input type="checkbox"/></td><td>4. Проверка модели на адекватность.</td></tr> <tr><td><input type="checkbox"/></td><td>5. Определение уравнения регрессии.</td></tr> </table>	<input type="checkbox"/>	1. Составление матрицы планирования.	<input type="checkbox"/>	2. Выбор уровня входных переменных.	<input type="checkbox"/>	3. Проведение экспериментальных исследований.	<input type="checkbox"/>	4. Проверка модели на адекватность.	<input type="checkbox"/>	5. Определение уравнения регрессии.
<input type="checkbox"/>	1. Составление матрицы планирования.										
<input type="checkbox"/>	2. Выбор уровня входных переменных.										
<input type="checkbox"/>	3. Проведение экспериментальных исследований.										
<input type="checkbox"/>	4. Проверка модели на адекватность.										
<input type="checkbox"/>	5. Определение уравнения регрессии.										
5	<p>Какое максимальное количество коэффициентов полиномиальной модели системы с пятью входами можно определить при экспериментальных исследованиях, в которых каждой входной переменной задается 2 значения?</p> <ol style="list-style-type: none"> 1) 4; 2) 8; 3) 5; 4) 6; 5) 32; 6) 16; 7) 24; 8) 12. 										
6	<p>Лучшее генерирующее соотношение при планировании дробного эксперимента и переходе от системы с четырьмя входами к системе с пятью входами имеет вид</p> <ol style="list-style-type: none"> 1) $X_5 = X_1 X_2 X_3$; 2) $X_5 = X_1 X_2 X_3 X_4$; 3) $X_5 = X_2 X_3 X_4$; 4) $X_5 = X_3 X_4$; 5) $X_5 = -X_2 X_3 X_4$; 6) $X_5 = -X_1 X_2 X_3$; 7) $X_5 = -X_1 X_2 X_3 X_4$; 8) $X_5 = -X_3 X_4$. 										
7	<p>Дисперсия неадекватности полиномиальной модели $Y_X = f(X_1, X_2, \dots, X_n)$, содержащей d слагаемых, определяется с использованием значений Y_{Xi}, вычисленных при фиксированном наборе переменных X для i-строки матрицы планирования с опытным средним \bar{Y}_i по формуле</p> <ol style="list-style-type: none"> 1) $\frac{1}{N} \sum_{i=1}^N (Y_{Xi} - \bar{Y}_i)^2$; 2) $\frac{1}{d} \sum_{i=1}^N (Y_{Xi} - \bar{Y}_i)^2$; 3) $\frac{1}{N-1} \sum_{i=1}^N (Y_{Xi} - \bar{Y}_i)^2$; 4) $\frac{1}{N-d} \sum_{i=1}^N (Y_{Xi} - \bar{Y}_i)^2$. 										

8	<p>В результате эксперимента получены данные</p> <table><tr><td>X_1</td><td>X_2</td><td>X_3</td><td>Y</td></tr><tr><td>-1</td><td>-1</td><td>+1</td><td>0,25</td></tr><tr><td>-1</td><td>+1</td><td>-1</td><td>-0,75</td></tr><tr><td>+1</td><td>-1</td><td>-1</td><td>-1,25</td></tr><tr><td>+1</td><td>+1</td><td>+1</td><td>1,75</td></tr></table> <p>Наилучшим значением для коэффициента b_1 уравнение регрессии будет</p> <p>1) 0,25; 3) 1; 5) 0; 7) - 2; 2) 1,75; 4) - 1; 6) 2; 8) 4.</p>	X_1	X_2	X_3	Y	-1	-1	+1	0,25	-1	+1	-1	-0,75	+1	-1	-1	-1,25	+1	+1	+1	1,75
X_1	X_2	X_3	Y																		
-1	-1	+1	0,25																		
-1	+1	-1	-0,75																		
+1	-1	-1	-1,25																		
+1	+1	+1	1,75																		
9	<p>Для преобразования дискретного цифрового сигнала в непрерывный аналоговый используется</p> <p>1) цифровой фильтр; 2) цифровой мультиплексор; 3) цифроаналоговый преобразователь; 4) последовательное соединение ЦАП и аналогового ФНЧ.</p>																				
10	<p>Реакция линейной дискретной динамической системы Y_k на действие входного сигнала X_k при нулевых начальных условиях определяется выражением «свертка» (нерекурсивная модель)</p> <p>1) $Y_k = \sum_{j=0}^k X_{k-j} c_j$; 3) $Y_k = \sum_{j=0}^k X_j c_j$; 2) $Y_k = \sum_{j=0}^{\infty} X_{k-j} c_j$; 4) $Y_k = \sum_{j=0}^{\infty} X_j c_{k-j}$.</p>																				
11	<p>Структура</p>  <p>реализует следующие рекурсивные вычисления</p> <p>1) $Y_k = abY_{k-1} + bX_k$; 3) $Y_k = Y_{k-2} + bX_{k-1}$; 2) $Y_k = abY_{k-2} + bX_k$; 4) $Y_k = abY_{k-2} + bX_{k-1}$.</p>																				
12	<p>Для графа вычислительного процесса с операторами $i = 1, \dots, n$ и вероятностями p_{ij} должно выполняться условие</p> <p>1) $\sum_{i=1}^n p_{ij} = 0$; 3) $\sum_{i=1}^n p_{ij} = n$; 2) $\sum_{i=1}^n p_{ij} = 1$; 4) $\sum_{i=1}^n \frac{1}{1 - p_{ij}} = n$.</p>																				
13	<p>Загрузка устройства массового обслуживания с интенсивностью входного потока заявок 1 с^{-1} и временем обслуживания одной заявки 0,25 с равна</p> <p>1) 4; 3) 0,25; 5) 1; 7) - 0,25; 2) 0,5; 4) 2; 6) 0; 8) - 0,5.</p>																				

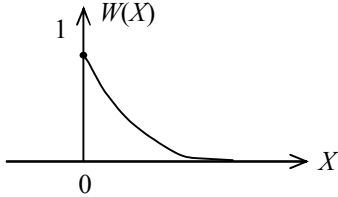
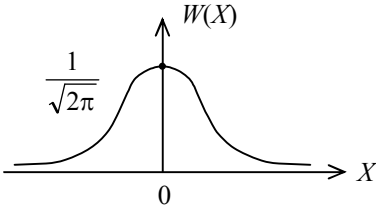
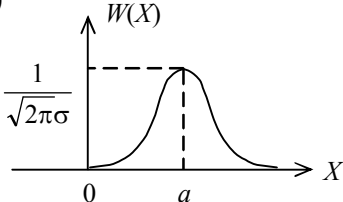
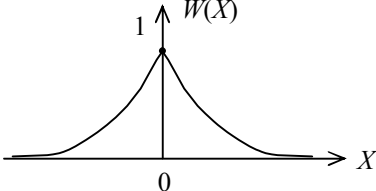
14	<p>Среднее количество заявок, находящихся в устройстве массового обслуживания при загрузке ρ равно</p> <div style="display: flex; justify-content: space-around;"> <div>1) $\frac{1-\rho}{\rho}$;</div> <div>3) $\frac{1-\rho^2}{\rho}$;</div> </div> <div style="display: flex; justify-content: space-around;"> <div>2) $\frac{\rho}{1-\rho}$;</div> <div>4) $\frac{\rho}{1-\rho^2}$.</div> </div>																				
15	<p>Рекуррентное уравнение для формирования сигнала $S = Ae^{-at}$, $t \geq 0$ имеет вид</p> <div style="display: flex; justify-content: space-around;"> <div>1) $S_k = A \cdot S_{k-1}$;</div> <div>3) $S_k = S_{k-1} + e^{-aT_0}$;</div> </div> <div style="display: flex; justify-content: space-around;"> <div>2) $S_k = e^{-aT_0} S_{k-1}$;</div> <div>4) $S_k = AS_{k-1} + e^{-aT_0}$.</div> </div>																				
16	<p>Нормальный (гаусовский) закон распределения случайных стандартных чисел X описывается соотношением</p> <div style="display: flex; justify-content: space-around;"> <div>1) $\lambda e^{-\lambda X}$;</div> <div>3) $\frac{1}{\sqrt{2\pi}\sigma} e^{-\frac{(X-a)^2}{2\sigma^2}}$;</div> </div> <div style="display: flex; justify-content: space-around;"> <div>2) $\frac{1}{\sqrt{2\pi}} e^{-\frac{X^2}{2}}$;</div> <div>4) $\frac{1}{\sqrt{2\pi}} e^{-X^2}$.</div> </div>																				
17	<p>Формирование случайных чисел Y с заданным законом распределения $W(Y)$, $a \leq Y \leq b$ методом Неймана производится путем выполнением действий</p> <p>М: формирование генератором стандартных равномерно распределенных чисел X_1 и X_2;</p> <div style="display: flex; justify-content: space-around;"> <div>1) $Y = b + X_1(b - a)$, вывод Y, если $X_2 W_{\max} < W(Y)$; переход к М;</div> <div>2) $Y = b + X_1(b - a)$, вывод Y, если $X_2 W_{\max} \geq W(Y)$; переход к М;</div> <div>3) $Y = a + X_1(b - a)$, вывод Y, если $X_2 W_{\max} \geq W(Y)$; переход к М;</div> <div>4) $Y = a + X_1(b - a)$, вывод Y, если $X_2 W_{\max} < W(Y)$; переход к М.</div> </div>																				
18	<p>Передаточная функция фильтра, формирующего стационарный гауссовский сигнал из независимых стандартных гауссовских чисел определяется по энергетическому спектру сигнала $S(\omega) = e^{-\alpha \omega }$ соотношением</p> <div style="display: flex; justify-content: space-around;"> <div>1) $e^{-\frac{\alpha \omega }{2}}$;</div> <div>3) $\sqrt{\frac{\pi}{\omega_c}} e^{-\frac{\alpha \omega }{2}}$;</div> </div> <div style="display: flex; justify-content: space-around;"> <div>2) $\sqrt{\frac{\omega_c}{\pi}} e^{-\frac{\alpha \omega }{2}}$;</div> <div>4) $\sqrt{\frac{\omega_c}{\pi}} e^{-2\alpha \omega }$.</div> </div>																				
19	<p>Этап разработки имитационной модели включает следующие действия</p> <table border="1" style="width: 100%;"> <tr><td><input type="checkbox"/></td><td>1. Получение математических соотношений.</td></tr> <tr><td><input type="checkbox"/></td><td>2. Проверка достоверности модели.</td></tr> <tr><td><input type="checkbox"/></td><td>3. Построение логической схемы модели.</td></tr> <tr><td><input type="checkbox"/></td><td>4. Составление плана по программированию.</td></tr> <tr><td><input type="checkbox"/></td><td>5. Выбор вычислительных средств для моделирования.</td></tr> <tr><td><input type="checkbox"/></td><td>6. Построение схемы программы.</td></tr> <tr><td><input type="checkbox"/></td><td>7. Проведение программирования модели.</td></tr> <tr><td><input type="checkbox"/></td><td>8. Проверка достоверности схемы программы.</td></tr> <tr><td><input type="checkbox"/></td><td>9. Составление технической документации.</td></tr> <tr><td><input type="checkbox"/></td><td>10. Проверка достоверности программы.</td></tr> </table>	<input type="checkbox"/>	1. Получение математических соотношений.	<input type="checkbox"/>	2. Проверка достоверности модели.	<input type="checkbox"/>	3. Построение логической схемы модели.	<input type="checkbox"/>	4. Составление плана по программированию.	<input type="checkbox"/>	5. Выбор вычислительных средств для моделирования.	<input type="checkbox"/>	6. Построение схемы программы.	<input type="checkbox"/>	7. Проведение программирования модели.	<input type="checkbox"/>	8. Проверка достоверности схемы программы.	<input type="checkbox"/>	9. Составление технической документации.	<input type="checkbox"/>	10. Проверка достоверности программы.
<input type="checkbox"/>	1. Получение математических соотношений.																				
<input type="checkbox"/>	2. Проверка достоверности модели.																				
<input type="checkbox"/>	3. Построение логической схемы модели.																				
<input type="checkbox"/>	4. Составление плана по программированию.																				
<input type="checkbox"/>	5. Выбор вычислительных средств для моделирования.																				
<input type="checkbox"/>	6. Построение схемы программы.																				
<input type="checkbox"/>	7. Проведение программирования модели.																				
<input type="checkbox"/>	8. Проверка достоверности схемы программы.																				
<input type="checkbox"/>	9. Составление технической документации.																				
<input type="checkbox"/>	10. Проверка достоверности программы.																				

20	<p data-bbox="240 118 1420 197">Оценка математического ожидания параметра Y в результате имитационного моделирования рассчитывается по формуле</p> <div data-bbox="300 197 951 376"> <div> 1) $\frac{1}{N} \sum_{i=1}^N Y_i^2 ;$ 3) $N \sum_{i=1}^N Y_i ;$ </div> <div> 2) $\frac{1}{N} \sum_{i=1}^N Y_i ;$ 4) $\frac{1}{N-1} \sum_{i=1}^N Y_i^2 ;$ </div> </div>
----	--

Вариант 7

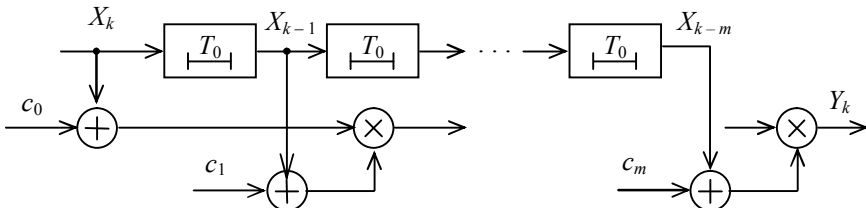
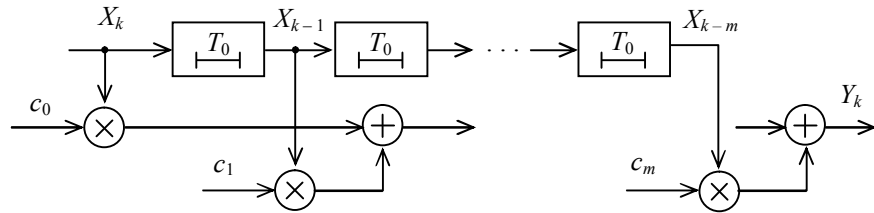
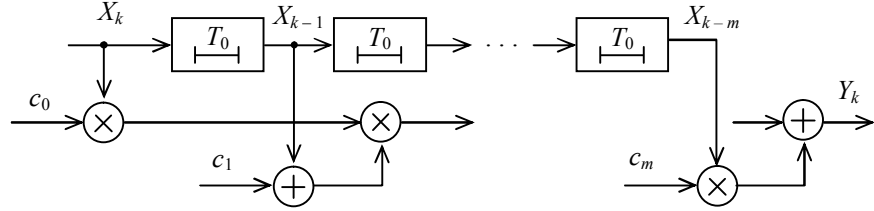
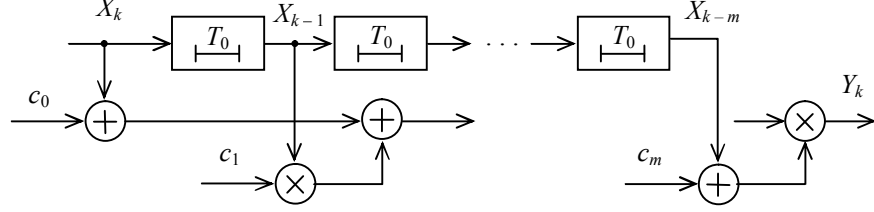
1	<p>Аналитические модели обладают свойствами</p> <ol style="list-style-type: none"> 1) простоты описания; 2) универсальности; 3) уникальности; 4) совершенности.
2	<p>Моделями вычислительной системы являются</p> <ol style="list-style-type: none"> 1) принципиальная схема; 2) расчет энергопотребления; 3) вычислительный комплекс; 4) алгоритм работы.
3	<p>Метод наименьших квадратов позволяет определить</p> <ol style="list-style-type: none"> 1) адекватность модели; 2) уравнение регрессии; 3) значимость коэффициентов в уравнении регрессии; 4) коэффициенты полинома.
4	<p>Коэффициенты b_j уравнения регрессии с нормированными входными переменными X_j рассчитываются при эксперименте $N = 2^n$ с использованием статистики Y_1, Y_2, \dots, Y_N следующим образом</p> <ol style="list-style-type: none"> 1) $b_j = \sum_{i=1}^N X_{ji} Y_i$; 2) $b_j = \sum_{i=1}^N X_{ji}^2 Y_i$; 3) $b_j = \frac{1}{N} \sum_{i=1}^N X_{ji}^2 Y_i$; 4) $b_j = \frac{1}{N} \sum_{i=1}^N X_{ji} Y_i$.
5	<p>Переход от ненормированной переменной \tilde{X} к нормированной X при проведении эксперимента 2^n выполняется следующим образом</p> <ol style="list-style-type: none"> 1) $X = \frac{\tilde{X} - \tilde{X}_0}{\Delta \tilde{X}}$; 2) $\tilde{X} = \frac{X - X_0}{\Delta X}$; 3) $X = \frac{\tilde{X} - \tilde{X}_0}{\Delta \tilde{X}}$; 4) $\tilde{X} = \frac{X - X_0}{\Delta X}$.
6	<p>Минимальное количество опытов при дробном эксперименте и сохранении свойств матрицы планирования для системы с девятью входами равно</p> <ol style="list-style-type: none"> 1) 8; 2) 16; 3) 12; 4) 64; 5) 10; 6) 9; 7) 32; 8) 256.
7	<p>Модель системы является адекватной, если дисперсия неадекватности S_H и дисперсия, характеризующая вариацию одного измерения S удовлетворяют условию по критерию Фишера</p> <ol style="list-style-type: none"> 1) $S / S_H < F_\alpha$; 2) $\frac{S}{S_H} - 1 > F_\alpha$; 3) $S_H / S < F_\alpha$; 4) $S_H / S > F_\alpha$.
8	<p>Грубое измерение Y_i в серии повторных Y_1, Y_2, \dots, Y_m отбрасывается, если при среднем квадратическом отклонении одного измерения σ и пороговом уровне t_α выполняется условие по критерию Стьюдента</p> <ol style="list-style-type: none"> 1) $\left Y_i - \frac{1}{m} \sum_{i=1}^m Y_i \right > \sigma t_\alpha$; 2) $\left Y_i - \frac{1}{m} \sum_{i=1}^m Y_i \right < \sigma t_\alpha$; 3) $Y_i - \frac{1}{m} \sum_{i=1}^m Y_i < \sigma t_\alpha$; 4) $Y_i - \frac{1}{m} \sum_{i=1}^m Y_i > \sigma t_\alpha$.

9	<p>Для преобразования аналогового сигнала в дискретный используется</p> <ol style="list-style-type: none"> 1) аналоговый фильтр; 2) аналоговый мультиплексор; 3) аналогово-цифровой преобразователь; 4) шифратор.
10	<p>Реакция линейной дискретной динамической системы Y_k на действие входного сигнала X_k имеющей импульсную реакцию, затухающую на шаге m, определяется выражением</p> <ol style="list-style-type: none"> 1) $Y_k = \sum_{j=0}^m X_j c_{k-j};$ 2) $Y_k = \sum_{j=k-m}^k X_{k-j} c_j;$ 3) $Y_k = \sum_{j=k-m}^k X_j c_{k-j};$ 4) $Y_k = \sum_{j=0}^m X_{k-j} c_j.$
11	<p>Разность $\Delta^3 Y_k$ равна</p> <ol style="list-style-type: none"> 1) $Y_k - Y_{k-1};$ 2) $Y_k + 2Y_{k-1} + Y_{k-2};$ 3) $Y_k - 2Y_{k-1} + Y_{k-2};$ 4) $Y_k - 3Y_{k-1} + 3Y_{k-2} - Y_{k-3}.$
12	<p>Эффективная последовательность расчета вычислительного процесса без циклов выполняется</p> <ol style="list-style-type: none"> 1) в произвольном порядке; 2) независимым расчетом трудоемкостей операторов с последующим их суммированием; 3) последовательным расчетом по ходу процесса, начиная с первого оператора; 4) последовательным расчетом против хода процесса, начиная с последнего оператора.
13	<p>Для нахождения входных интенсивностей отказов λ_j для системы массового обслуживания содержащей устройства $j = 1, 2, \dots, n$ решается система уравнений</p> <ol style="list-style-type: none"> 1) $\lambda_j = \frac{1}{n} \sum_{i=1}^n p_{ij} \lambda_i;$ 2) $\lambda_j = \sum_{i=1}^n (1 - p_{ij}) \lambda_i;$ 3) $\lambda_j = \sum_{i=1}^n p_{ij} \lambda_i;$ 4) $\lambda_j = \sum_{i=1}^n \frac{1}{1 - p_{ij}} \lambda_i.$
14	<p>Среднее количество заявок в очереди в устройстве массового обслуживания при загрузке ρ равно</p> <ol style="list-style-type: none"> 1) $\frac{\rho^2}{1 - \rho};$ 2) $\frac{1 - \rho}{\rho^2};$ 3) $\frac{\rho}{1 - \rho^2};$ 4) $\frac{1 - \rho^2}{\rho}.$
15	<p>Рекуррентное уравнение для формирования сигнала $S = at + b, t \geq 0$ имеет вид</p> <ol style="list-style-type: none"> 1) $S_k = aT_0 S_{k-1};$ 2) $S_k = S_{k-2} + aT_0;$ 3) $S_k = S_{k-1} + aT_0;$ 4) $S_k = S_{k-1} + b.$

16	<p>Графическое изображение нормального (гауссовского) закона распределения стандартных случайных чисел X имеет вид</p> <div style="display: flex; flex-wrap: wrap;"> <div style="width: 50%;"> <p>1) </p> </div> <div style="width: 50%;"> <p>3) </p> </div> <div style="width: 50%;"> <p>2) </p> </div> <div style="width: 50%;"> <p>4) </p> </div> </div>																
17	<p>Схема формирования случайного стационарного гауссовского сигнала содержит блоки</p> <ol style="list-style-type: none"> 1) генератор независимых равномерных случайных чисел и формирующий фильтр; 2) генератор независимых равномерных случайных чисел и функциональный преобразователь; 3) генератор независимых нормальных случайных чисел и функциональный преобразователь; 4) генератор независимых нормальных случайных чисел и формирующий фильтр. 																
18	<p>Формирование случайных чисел Y, распределенных по закону $\frac{2}{b^2}Y, 0 \leq Y \leq b$ на основе генератора стандартных равномерно распределенных чисел X производится с использованием функционального преобразования</p> <ol style="list-style-type: none"> 1) $Y = bX^2$; 2) $Y = bX$; 3) $Y = b^2\sqrt{X}$; 4) $Y = b\sqrt{X}$. 																
19	<p>Этап создания концептуальной имитационной модели включает следующие действия</p> <table border="1" style="border-collapse: collapse;"> <tr><td style="width: 20px; height: 20px;"></td><td>1. Определение требований к исходной информации об объекте моделирования.</td></tr> <tr><td style="width: 20px; height: 20px;"></td><td>2. Постановка и анализ задачи машинного моделирования системы.</td></tr> <tr><td style="width: 20px; height: 20px;"></td><td>3. Установление основного содержания модели.</td></tr> <tr><td style="width: 20px; height: 20px;"></td><td>4. Определение параметров и переменных модели.</td></tr> <tr><td style="width: 20px; height: 20px;"></td><td>5. Описание концептуальной модели системы.</td></tr> <tr><td style="width: 20px; height: 20px;"></td><td>6. Обоснование критериев оценки эффективности системы.</td></tr> <tr><td style="width: 20px; height: 20px;"></td><td>7. Составление технической документации.</td></tr> <tr><td style="width: 20px; height: 20px;"></td><td>8. Проверка достоверности модели.</td></tr> </table>		1. Определение требований к исходной информации об объекте моделирования.		2. Постановка и анализ задачи машинного моделирования системы.		3. Установление основного содержания модели.		4. Определение параметров и переменных модели.		5. Описание концептуальной модели системы.		6. Обоснование критериев оценки эффективности системы.		7. Составление технической документации.		8. Проверка достоверности модели.
	1. Определение требований к исходной информации об объекте моделирования.																
	2. Постановка и анализ задачи машинного моделирования системы.																
	3. Установление основного содержания модели.																
	4. Определение параметров и переменных модели.																
	5. Описание концептуальной модели системы.																
	6. Обоснование критериев оценки эффективности системы.																
	7. Составление технической документации.																
	8. Проверка достоверности модели.																
20	<p>Оценка коэффициента корреляции, определяющего взаимосвязь параметров X и Y рассчитывается после вычисления оценок корреляционного момента K и средних квадратических отклонений σ_X, σ_Y по формуле</p> <ol style="list-style-type: none"> 1) $\frac{K}{\sigma_X \sigma_Y}$; 2) $\frac{K}{\sqrt{\sigma_X \sigma_Y}}$; 3) $\sigma_X \sigma_Y K$; 4) $\sqrt{\sigma_X \sigma_Y} K$. 																

Вариант 8

1	Имитационное моделирование систем реализует 1) символическое описание системы; 2) исследование систем на физическом макете; 3) алгоритм функционирования системы на ЭВМ; 4) математические расчеты системы.																																																																																																				
2	Техническими средствами моделирования являются 1) АЦП; 2) ЭВМ; 3) АВМ; 4) ЦАП.																																																																																																				
3	Линейный полином для описания статической системы с одним входом имеет вид 1) $Y = b_1 X$; 2) $Y = b_0 + b_1 X + b_2 X^2$; 3) $Y = b_0 + b_1 X$; 4) $Y = b_0$.																																																																																																				
4	Матрица планирования для эксперимента 2^2 имеет вид 1) <table><tr><td>i</td><td>X_1</td><td>X_2</td><td>$X_1 X_2$</td><td>Y</td></tr><tr><td>1</td><td>-1</td><td>-1</td><td>-1</td><td></td></tr><tr><td>2</td><td>+1</td><td>-1</td><td>-1</td><td></td></tr><tr><td>3</td><td>-1</td><td>+1</td><td>+1</td><td></td></tr><tr><td>4</td><td>+1</td><td>+1</td><td>+1</td><td></td></tr></table> 2) <table><tr><td>i</td><td>X_1</td><td>X_2</td><td>$-X_1 X_2$</td><td>Y</td></tr><tr><td>1</td><td>-1</td><td>-1</td><td>-1</td><td></td></tr><tr><td>2</td><td>+1</td><td>-1</td><td>+1</td><td></td></tr><tr><td>3</td><td>-1</td><td>+1</td><td>+1</td><td></td></tr><tr><td>4</td><td>+1</td><td>+1</td><td>-1</td><td></td></tr></table> 3) <table><tr><td>i</td><td>X_1</td><td>X_2</td><td>$X_1 X_2$</td><td>Y</td></tr><tr><td>1</td><td>-1</td><td>-1</td><td>+1</td><td></td></tr><tr><td>2</td><td>+1</td><td>-1</td><td>-1</td><td></td></tr><tr><td>3</td><td>-1</td><td>+1</td><td>-1</td><td></td></tr><tr><td>4</td><td>+1</td><td>+1</td><td>+1</td><td></td></tr></table> 4) <table><tr><td>i</td><td>X_1</td><td>X_2</td><td>$X_1 X_2$</td><td>Y</td></tr><tr><td>1</td><td>-1</td><td>+1</td><td>-1</td><td></td></tr><tr><td>2</td><td>-1</td><td>+1</td><td>-1</td><td></td></tr><tr><td>3</td><td>+1</td><td>-1</td><td>-1</td><td></td></tr><tr><td>4</td><td>+1</td><td>-1</td><td>-1</td><td></td></tr></table>	i	X_1	X_2	$X_1 X_2$	Y	1	-1	-1	-1		2	+1	-1	-1		3	-1	+1	+1		4	+1	+1	+1		i	X_1	X_2	$-X_1 X_2$	Y	1	-1	-1	-1		2	+1	-1	+1		3	-1	+1	+1		4	+1	+1	-1		i	X_1	X_2	$X_1 X_2$	Y	1	-1	-1	+1		2	+1	-1	-1		3	-1	+1	-1		4	+1	+1	+1		i	X_1	X_2	$X_1 X_2$	Y	1	-1	+1	-1		2	-1	+1	-1		3	+1	-1	-1		4	+1	-1	-1	
i	X_1	X_2	$X_1 X_2$	Y																																																																																																	
1	-1	-1	-1																																																																																																		
2	+1	-1	-1																																																																																																		
3	-1	+1	+1																																																																																																		
4	+1	+1	+1																																																																																																		
i	X_1	X_2	$-X_1 X_2$	Y																																																																																																	
1	-1	-1	-1																																																																																																		
2	+1	-1	+1																																																																																																		
3	-1	+1	+1																																																																																																		
4	+1	+1	-1																																																																																																		
i	X_1	X_2	$X_1 X_2$	Y																																																																																																	
1	-1	-1	+1																																																																																																		
2	+1	-1	-1																																																																																																		
3	-1	+1	-1																																																																																																		
4	+1	+1	+1																																																																																																		
i	X_1	X_2	$X_1 X_2$	Y																																																																																																	
1	-1	+1	-1																																																																																																		
2	-1	+1	-1																																																																																																		
3	+1	-1	-1																																																																																																		
4	+1	-1	-1																																																																																																		
5	Какое максимальное количество коэффициентов полиномиальной модели системы с двумя входами можно определить при полном эксперименте, в котором каждая переменная принимает три значения? 1) 3; 3) 9; 5) 4; 7) 16; 2) 2; 4) 8; 6) 7; 8) 5.																																																																																																				
6	Причины, влияющие на точность экспериментальных исследований 1) методические ошибки; 2) окружающая среда; 3) планирование эксперимента; 4) неточности экспериментатора; 5) погрешность приборов; 6) помехи и возмущения.																																																																																																				
7	Для независимых повторных измерений Y_1, Y_2, \dots, Y_m дисперсии $D_c = D(\frac{1}{m} \sum_{i=1}^m Y_i)$ и $D_1 = D(Y_i)$ связаны соотношением 1) $D_c = \frac{D_1}{\sqrt{m}}$; 3) $D_c = D_1$; 2) $D_c = m D_1$; 4) $D_c = \frac{D_1}{m}$.																																																																																																				

8	<p>В результате эксперимента получены данные</p> <table><tr><td>X_1</td><td>X_2</td><td>Y</td></tr><tr><td>-1</td><td>-1</td><td>-1,25</td></tr><tr><td>+1</td><td>-1</td><td>1,25</td></tr><tr><td>-1</td><td>+1</td><td>1,25</td></tr><tr><td>+1</td><td>+1</td><td>2,75</td></tr></table> <p>Наилучшим значением коэффициента b_{12} в уравнении регрессии будет</p> <p>1) 2; 3) 0; 5) 1; 7) - 0,25; 2) - 2; 4) 1,25; 6) - 1,25 8) 2,75</p>	X_1	X_2	Y	-1	-1	-1,25	+1	-1	1,25	-1	+1	1,25	+1	+1	2,75
X_1	X_2	Y														
-1	-1	-1,25														
+1	-1	1,25														
-1	+1	1,25														
+1	+1	2,75														
9	<p>Динамическими системами являются следующие</p> <p>1) усилитель; 2) аналоговый фильтр; 3) аналогово-цифровой преобразователь; 4) алгоритм обработки сигнала.</p>															
10	<p>Схема дискретной динамической системы с нерекурсивным описанием имеет следующую структуру.</p> <p>1)</p>  <p>2)</p>  <p>3)</p>  <p>4)</p> 															
11	<p>Дифференциальному уравнению $\tau \frac{dY(t)}{dt} + Y(t) = X(t)$ соответствует следующее рекуррентное</p> <p>1) $Y_k = (1 - \frac{T_0}{\tau})Y_{k-1} + X_k$;</p> <p>2) $Y_k = \frac{T_0}{\tau}Y_{k-1} + (1 - \frac{T_0}{\tau})X_k$;</p> <p>3) $Y_k = \frac{\tau}{\tau + T_0}Y_{k-1} + \frac{T_0}{\tau + T_0}X_k$;</p> <p>4) $Y_k = \frac{T_0}{\tau}Y_{k-1} + (1 - \frac{T_0}{\tau})X_{k-1}$.</p>															

12	<p>Расчет вычислительного процесса, содержащего циклы, начинается</p> <ol style="list-style-type: none"> 1) от первого оператора; 2) с внутреннего цикла; 3) с внешнего цикла; 4) от последнего оператора.
13	<p>Стационарный режим работы устройства массового обслуживания существует, если его загрузка ρ удовлетворяет условию</p> <ol style="list-style-type: none"> 1) $1 - \rho > 1$; 2) $\rho > 1$; 3) $\frac{1}{\rho} < 0$; 4) $\rho < 1$.
14	<p>Среднее время пребывания заявки в системе массового обслуживания с интенсивностью входного потока заявок λ_0, содержащей устройства $j = 1, 2, \dots, n$ со средним временем обслуживания заявки U_j, равно</p> <ol style="list-style-type: none"> 1) $\sum_{j=1}^n \frac{\lambda_j}{\lambda_0} \sum_{j=1}^n U_j$; 2) $\frac{1}{\lambda_0} \sum_{j=1}^n \lambda_j U_j$; 3) $\frac{1}{n\lambda_0} \sum_{j=1}^n \lambda_j U_j$; 4) $n\lambda_0 \sum_{j=1}^n U_j$.
15	<p>Рекурсивное формирование детерминированного сигнала основанного на использовании</p> <ol style="list-style-type: none"> 1) последовательных вычислений; 2) параллельных вычислений; 3) рекуррентного соотношения; 4) параллельно-последовательных вычислений.
16	<p>Математическое ожидание для нормального (гауссовского) закона распределения стандартных случайных чисел равно</p> <ol style="list-style-type: none"> 1) 1; 2) -1; 3) 0; 4) $\frac{1}{2}$; 5) $-\frac{1}{12}$; 6) $\frac{1}{2\sqrt{3}}$; 7) $\frac{1}{4}$; 8) $-\frac{1}{2}$.
17	<p>Функция, преобразующая числа X, снимаемые с генератора стандартных случайных равномерно распределенных чисел, в числа с заданной плотностью распределения вероятностей $W(Y)$ находится из решения уравнения</p> <ol style="list-style-type: none"> 1) $\int_0^Y W(Y) dY = X$; 2) $\int_{-\infty}^X W(Y) dY = X$; 3) $\int_{-\infty}^Y W(Y) dY = X$; 4) $\int_{-\infty}^{\infty} W(Y) dY = X$.
18	<p>Импульсная реакция фильтра $g(t)$, формирующего стационарный гауссовский сигнал на основе генератора стандартных независимых случайных гауссовских чисел при передаточной функции фильтра $K(\omega) = e^{-\frac{\alpha \omega }{2}}$ равна</p> <ol style="list-style-type: none"> 1) $g(t) = \frac{1}{2\pi} \frac{4t^2 + \alpha^2}{4\alpha}$; 2) $g(t) = \frac{1}{2\pi} \frac{t^2}{\alpha}$; 3) $g(t) = \frac{1}{2\pi} \frac{4\alpha}{4t^2 + \alpha^2}$; 4) $g(t) = \frac{1}{2\pi} \frac{4\alpha}{4t^2 - \alpha^2}$.

19	<p>Специализированным языком моделирования цифровых устройств является</p> <ol style="list-style-type: none"> 1) C⁺⁺; 2) ASSEMBLER; 3) VHDL; 4) PASCAL; 5) GPSS; 6) PL1.
20	<p>Вычисление оценки корреляционного момента параметров X и Y в результате имитационного моделирования производится по формуле</p> <ol style="list-style-type: none"> 1) $\frac{1}{N} \sum_{i=1}^N X_i Y_i - \frac{1}{N^2} \sum_{i=1}^N X_i \sum_{j=1}^N Y_j$; 2) $\frac{1}{N^2} \sum_{i=1}^N X_i \sum_{j=1}^N Y_j$; 3) $\sum_{i=1}^N X_i Y_i$; 4) $\sum_{i=1}^N (X_i - \frac{1}{N} \sum_{j=1}^N X_j)(Y_i - \frac{1}{N} \sum_{j=1}^N Y_j)$.

Вариант 9

1	<p>Аналитические модели имеют ограниченное использование для исследования сложных систем, поскольку оказываются</p> <ol style="list-style-type: none"> 1) нереализуемыми; 2) универсальными; 3) формальными; 4) неадекватными.
2	<p>Аналитические модели могут быть представлены следующими средствами</p> <ol style="list-style-type: none"> 1) векторами и матрицами; 2) функциями распределения вероятностей; 3) аналогиями; 4) рекуррентными уравнениями.
3	<p>Наилучшим уравнением регрессии $Y_x = b_0 + b_1X$ системы с одним входом по результатам проведения опытов $i = 1, 2, \dots, N$, в каждом из которых для X_i выходные значения равны Y_i, является такое, которое обеспечивает минимум суммы</p> <ol style="list-style-type: none"> 1) $\sum_{i=1}^N (Y_{xi} - b_0 - b_1X_i)^2$; 2) $\sum_{i=1}^N (Y_{xi} - b_0 - b_1X_i)$; 3) $\sum_{i=1}^N (Y_i - b_0 - b_1X_i)$; 4) $\sum_{i=1}^N (Y_i - b_0 - b_1X_i)^2$.
4	<p>Количество опытов при полном эксперименте для системы с n входами, каждый из которых имеет m уровней равно</p> <ol style="list-style-type: none"> 1) m^n; 2) $m \cdot n$; 3) n^m; 4) $n \log_2 m$.
5	<p>Полная модель системы с двумя входами при эксперименте, в котором каждое входное значение имеет 2 уровня, имеет вид</p> <ol style="list-style-type: none"> 1) $Y = b_0 + b_1X_1 + b_2X_2$; 2) $Y = b_0 + b_1X_1 + b_2X_2 + b_3X_1X_2$; 3) $Y = b_0 + b_1X_1 + b_2X_2 + b_3X_1X_2 + b_4X_1^2 + b_5X_2^2$; 4) $Y = b_0 + b_1X_1$.
6	<p>Эффективный метод уменьшения влияния случайных ошибок</p> <ol style="list-style-type: none"> 1) измерения с высокой точностью; 2) контроль влияния окружающей среды; 3) использование повторных опытов; 4) устранение возмущений и помех.
7	<p>При использовании повторных опытов с измерениями $Y_{i1}, Y_{i2}, \dots, Y_{im}$ в строке i матрицы планирования эксперимента $N = 2^n$ коэффициенты b_j уравнения регрессии рассчитываются по формуле</p> <ol style="list-style-type: none"> 1) $b_j = \frac{1}{Nm} \sum_{i=1}^N (X_{ji} \sum_{k=1}^m Y_{ik})$; 2) $b_j = \sum_{i=1}^N (X_{ji} \sum_{k=1}^m Y_{ik})$; 3) $b_j = \frac{1}{m} \sum_{i=1}^N (X_{ji} \sum_{k=1}^m Y_{ik})$; 4) $b_j = \frac{1}{N} \sum_{i=1}^N (X_{ji} \sum_{k=1}^m Y_{ik})$.

15	<p>Изменяя период дискретизации временной функции при формировании дискретного сигнала можно</p> <ol style="list-style-type: none"> 1) преобразовать форму сигнала; 2) сжимать или растягивать сигнал во времени; 3) изменять величину сигнала; 4) изменять скорость формирования сигнала.
16	<p>Дисперсия для нормального (гауссовского) закона распределения стандартных случайных чисел равна</p> <ol style="list-style-type: none"> 1) 0; 2) $\frac{1}{12}$; 3) $\frac{1}{16}$; 4) $\frac{1}{4}$; 5) $\frac{1}{2}$; 6) 1; 7) $\frac{1}{3}$; 8) $\frac{1}{2\sqrt{3}}$.
17	<p>Соотношения для формирования стандартных случайных гауссовских чисел Y на основе чисел X, формируемых генератором равномерно распределенных чисел имеет вид</p> <ol style="list-style-type: none"> 1) $Y_k = \sum_{i=1}^{12} (X_{ki} + 0,5);$ 2) $Y_k = \sum_{i=1}^{12} X_{ki};$ 3) $Y_k = \sum_{i=1}^{12} (X_{ki} - 0,5);$ 4) $Y_k = \sum_{i=1}^{12} X_{k-i} - 0,5.$
18	<p>При формировании случайных чисел Y, распределенных по закону $\frac{2}{b^2}Y$, $0 \leq Y \leq b$ на основе снимаемых с генератора стандартных равномерно распределенных чисел X и X_2 методом Неймана используются соотношения</p> <ol style="list-style-type: none"> 1) $Y = bX_1, X_2 < \frac{Y}{b};$ 2) $Y = bX_1, X_2 < \frac{Y}{b^2}Y;$ 3) $Y = bX_1, X_2 > \frac{Y}{b};$ 4) $Y = bX_1^2, X_2 < \frac{Y}{b}.$
19	<p>Специализированным языком моделирования автоматизирования систем является</p> <ol style="list-style-type: none"> 1) PL1 2) C⁺⁺ 3) SIMVLA 4) PASCAL 5) GPSS 6) VHDL
20	<p>Оценка коэффициента корреляции, определяющего взаимосвязь параметров X и Y, рассчитывается после вычисления оценок корреляционного момента K и средних квадратических отклонений σ_X, σ_Y по формуле</p> <ol style="list-style-type: none"> 1) $\sqrt{\frac{K}{\sigma_X \sigma_Y}};$ 2) $\frac{\sigma_X \sigma_Y}{K};$ 3) $\frac{K}{\sigma_X \sigma_Y};$ 4) $\sigma_X \sigma_Y.$

Вариант 10

1	<p>Имитационные модели могут использоваться для моделирования следующих систем</p> <ol style="list-style-type: none"> 1) любых; 2) простых; 3) сложных; 4) реальных. 										
2	<p>Алгоритм моделирования включает последовательность действий</p> <table border="1" style="border-collapse: collapse; width: 100%;"> <tr> <td style="width: 30px; height: 15px;"></td><td>1. Определение исследуемых свойств оригинала.</td></tr> <tr> <td style="width: 30px; height: 15px;"></td><td>2. Проверка полученных результатов.</td></tr> <tr> <td style="width: 30px; height: 15px;"></td><td>3. Выбор модели.</td></tr> <tr> <td style="width: 30px; height: 15px;"></td><td>4. Исследование модели.</td></tr> <tr> <td style="width: 30px; height: 15px;"></td><td>5. Перенос результатов исследования модели на оригинал.</td></tr> </table>		1. Определение исследуемых свойств оригинала.		2. Проверка полученных результатов.		3. Выбор модели.		4. Исследование модели.		5. Перенос результатов исследования модели на оригинал.
	1. Определение исследуемых свойств оригинала.										
	2. Проверка полученных результатов.										
	3. Выбор модели.										
	4. Исследование модели.										
	5. Перенос результатов исследования модели на оригинал.										
3	<p>Наилучшим уравнением регрессии $Y_X = b_0 + b_1 X$ по результатам обработки статистических исследований и вычисления средних арифметических значений \bar{X}, \bar{Y}, средних квадратических отклонений σ_X, σ_Y и коэффициента корреляции r является такое, для которого коэффициенты b_0, b_1 рассчитываются следующим образом</p> <table style="width: 100%;"> <tr> <td style="width: 50%;">1) $b_0 = \bar{X} - b_1 \bar{Y}, \quad b_1 = r \frac{\sigma_X}{\sigma_Y};$</td> <td style="width: 50%;">3) $b_0 = \bar{Y} - b_1 \bar{X}, \quad b_1 = r \frac{\sigma_X}{\sigma_Y};$</td> </tr> <tr> <td>2) $b_0 = \bar{Y} - b_1 \bar{X}, \quad b_1 = r \frac{\sigma_Y}{\sigma_X};$</td> <td>4) $b_0 = \bar{X} - b_1 \bar{Y}, \quad b_1 = r \frac{\sigma_Y}{\sigma_X};$</td> </tr> </table>	1) $b_0 = \bar{X} - b_1 \bar{Y}, \quad b_1 = r \frac{\sigma_X}{\sigma_Y};$	3) $b_0 = \bar{Y} - b_1 \bar{X}, \quad b_1 = r \frac{\sigma_X}{\sigma_Y};$	2) $b_0 = \bar{Y} - b_1 \bar{X}, \quad b_1 = r \frac{\sigma_Y}{\sigma_X};$	4) $b_0 = \bar{X} - b_1 \bar{Y}, \quad b_1 = r \frac{\sigma_Y}{\sigma_X};$						
1) $b_0 = \bar{X} - b_1 \bar{Y}, \quad b_1 = r \frac{\sigma_X}{\sigma_Y};$	3) $b_0 = \bar{Y} - b_1 \bar{X}, \quad b_1 = r \frac{\sigma_X}{\sigma_Y};$										
2) $b_0 = \bar{Y} - b_1 \bar{X}, \quad b_1 = r \frac{\sigma_Y}{\sigma_X};$	4) $b_0 = \bar{X} - b_1 \bar{Y}, \quad b_1 = r \frac{\sigma_Y}{\sigma_X};$										
4	<p>Планирование эксперимента необходимо для того, чтобы</p> <ol style="list-style-type: none"> 1) минимизировать материальные расходы; 2) минимизировать время исследований; 3) создать аналитическую модель; 4) упростить процесс моделирования. 										
5	<p>Количество опытов при дробном эксперименте N для системы с n входами находится в пределах</p> <table style="width: 100%;"> <tr> <td style="width: 50%;">1) $0 < N \leq n;$</td> <td style="width: 50%;">3) $n \leq N \leq 2^n;$</td> </tr> <tr> <td>2) $0 < N \leq 2^n;$</td> <td>4) $n+1 \leq N \leq 2^n.$</td> </tr> </table>	1) $0 < N \leq n;$	3) $n \leq N \leq 2^n;$	2) $0 < N \leq 2^n;$	4) $n+1 \leq N \leq 2^n.$						
1) $0 < N \leq n;$	3) $n \leq N \leq 2^n;$										
2) $0 < N \leq 2^n;$	4) $n+1 \leq N \leq 2^n.$										
6	<p>Для уменьшения влияния случайных ошибок статистика из повторных измерений Y_1, Y_2, \dots, Y_m обрабатывается следующим образом</p> <table style="width: 100%;"> <tr> <td style="width: 50%;">1) $\sum_{i=1}^m Y_i;$</td> <td style="width: 50%;">3) $\frac{1}{m} \sum_{i=1}^m Y_i;$</td> </tr> <tr> <td>2) $(Y_{\max} + Y_{\min})/2;$</td> <td>4) $\frac{1}{m-1} \sum_{i=1}^m Y_i.$</td> </tr> </table>	1) $\sum_{i=1}^m Y_i;$	3) $\frac{1}{m} \sum_{i=1}^m Y_i;$	2) $(Y_{\max} + Y_{\min})/2;$	4) $\frac{1}{m-1} \sum_{i=1}^m Y_i.$						
1) $\sum_{i=1}^m Y_i;$	3) $\frac{1}{m} \sum_{i=1}^m Y_i;$										
2) $(Y_{\max} + Y_{\min})/2;$	4) $\frac{1}{m-1} \sum_{i=1}^m Y_i.$										
7	<p>Модель системы является адекватной, если дисперсия неадекватности S_n и дисперсия, характеризующая вариацию одного измерения S, удовлетворяют условию по критерию Фишера</p> <table style="width: 100%;"> <tr> <td style="width: 50%;">1) $\frac{S}{S_n} - 1 > F_\alpha;$</td> <td style="width: 50%;">3) $\frac{S_n}{S} > F_\alpha;$</td> </tr> <tr> <td>2) $S_n < S F_\alpha;$</td> <td>4) $\frac{S_n}{S} + 1 > F_\alpha.$</td> </tr> </table>	1) $\frac{S}{S_n} - 1 > F_\alpha;$	3) $\frac{S_n}{S} > F_\alpha;$	2) $S_n < S F_\alpha;$	4) $\frac{S_n}{S} + 1 > F_\alpha.$						
1) $\frac{S}{S_n} - 1 > F_\alpha;$	3) $\frac{S_n}{S} > F_\alpha;$										
2) $S_n < S F_\alpha;$	4) $\frac{S_n}{S} + 1 > F_\alpha.$										

8

В результате эксперимента получены данные

X_1	X_2	X_3	Y
-1	-1	+1	0,25
-1	+1	-1	-0,75
+1	-1	-1	-1,25
+1	+1	+1	1,75

Наилучшим значением для коэффициента b_0 уравнения регрессии будет

- 1) 1; 3) -1; 5) 0,25; 7) 0,5;
 2) 2; 4) 4; 6) 0; 8) -0,5

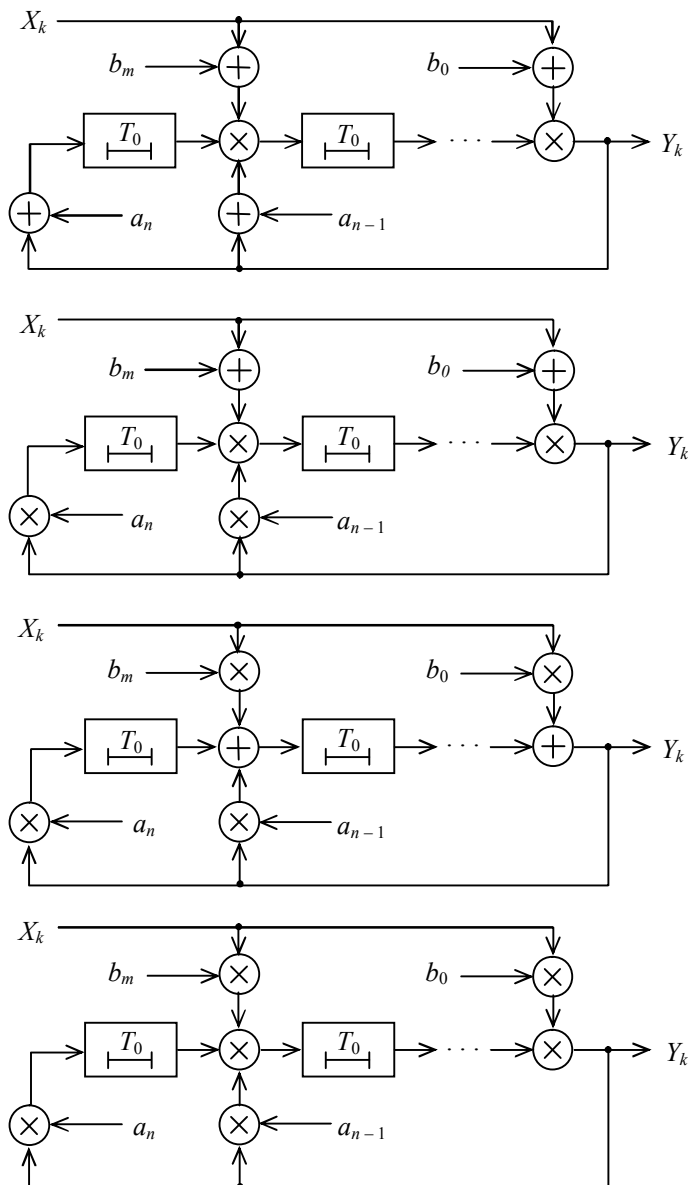
9

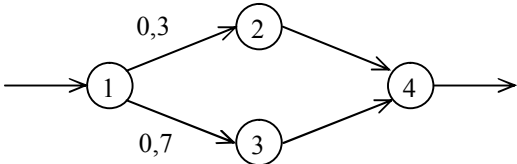
Система является динамической, если ее выходная реакция

- 1) зависит от значения входного сигнала в текущий момент времени;
 2) заканчивается сразу после прекращения действия входного сигнала;
 3) не зависит от значения входного сигнала в текущий момент времени;
 4) зависит от значения входного сигнала в текущий и ранние моменты времени.

10

Схема дискретной динамической системы с рекурсивным описанием имеет вид



11	<p>Период дискретизации T_0 сигнала $10 \sin 100 t$ определяется соотношением</p> <p>1) $T_0 \leq \frac{2\pi}{100}$; 3) $T_0 \leq \frac{1}{10}$;</p> <p>2) $T_0 \leq \frac{\pi}{100}$; 4) $T_0 \geq \frac{100}{\pi}$.</p>
12	<p>Трудоемкость вычислительного процесса</p>  <p>при $q_i = i \cdot 10$ (оп) равна</p> <p>1) 66; 3) 100; 5) 33; 7) 90;</p> <p>2) 80; 4) 200; 6) 77; 8) 99.</p>
13	<p>Для расчета графа вычислительной системы должны быть заданы</p> <p>1) интенсивность входного потока заявок и вероятности переходов;</p> <p>2) интенсивность входного потока заявок и среднее время обслуживания заявок каждым устройством;</p> <p>3) интенсивность входного потока заявок, вероятности переходов и среднее время обслуживания заявок каждым устройством;</p> <p>4) интенсивность входных потоков заявок для каждого устройства, вероятности переходов и среднее время обслуживания заявок каждым устройством.</p>
14	<p>Среднее количество заявок в очереди для устройства массового обслуживания с интенсивностью входного потока заявок λ и временем обслуживания заявок τ равно</p> <p>1) $\frac{1 - \lambda\tau}{(\lambda\tau)^2}$; 3) $\frac{(\lambda\tau)^2}{1 - \lambda\tau}$;</p> <p>2) $\frac{1 - (\lambda\tau)^2}{\lambda\tau}$; 4) $\frac{\lambda\tau}{1 - (\lambda\tau)^2}$.</p>
15	<p>Быстродействующими методами формирования цифровых сигналов в реальном времени являются</p> <p>1) непосредственного вычисления функции времени;</p> <p>2) табличный;</p> <p>3) рекурсивный;</p> <p>4) конвейерный.</p>
16	<p>Среднее квадратическое отклонение для нормального (гауссовского) закона распределения стандартных случайных чисел равно</p> <p>1) $\frac{1}{2}$; 3) $\frac{1}{2\sqrt{3}}$ 5) $\frac{1}{12}$; 7) $\frac{1}{4}$;</p> <p>2) -1; 4) 0; 6) 1; 8) $\frac{1}{8}$.</p>
17	<p>Алгоритм формирования равномерно распределенных случайных чисел основан на использовании соотношения</p> <p>1) $X_k = \lambda X_{k-1}$; 3) $X_k = \lambda X_{k-1} + \lambda$;</p> <p>2) $X_k = \lambda X_{k-1} \pmod{d}$; 4) $X_k = \lambda X_{k-1} + \lambda \pmod{d}$.</p>

18	<p>При формировании случайных чисел Y распределенная по закону $\frac{1}{\sqrt{2\pi}\sigma} e^{-\frac{(Y-a)^2}{2\sigma^2}}$, $a - 3\sigma \leq Y \leq a + 3\sigma$ на основе снимаемых с генератора стандартных равномерно распределенных чисел X_1 и X_2 методом Неймана используются соотношения</p> <div style="display: flex; justify-content: space-around;"> <div style="text-align: left;"> <p>1) $Y = a + 3\sigma X_1,$ $X_2 > e^{-\frac{(Y-a)^2}{2\sigma^2}};$</p> <p>2) $Y = a + 3\sigma + 6\sigma X_1,$ $X_2 < e^{-\frac{(Y-a)^2}{2\sigma^2}};$</p> </div> <div style="text-align: left;"> <p>3) $Y = a - 3\sigma + 6\sigma X_1,$ $X_2 > e^{-\frac{(Y-a)^2}{2\sigma^2}};$</p> <p>4) $Y = a - 3\sigma + 6\sigma X_1,$ $X_2 < e^{-\frac{(Y-a)^2}{2\sigma^2}};$</p> </div> </div>
19	<p>Недостатком имитационных моделей на основе процедурно ориентированных алгоритмических языков является</p> <ol style="list-style-type: none"> 1) сложность модели; 2) сложность исследования модели; 3) трудность программирования; 4) большое время исследования; 5) невозможность описания ряда систем; 6) нереализуемость ряда описаний.
20	<p>Оценка среднего квадратического отклонения параметра Y в результате имитационного моделирования рассчитывается по формуле</p> <div style="display: flex; justify-content: space-around;"> <div style="text-align: left;"> <p>1) $\frac{1}{N} \sum_{i=1}^N Y_i^2 - \left(\frac{1}{N} \sum_{j=1}^N Y_j\right)^2;$</p> <p>2) $\frac{1}{N} \sqrt{\sum_{i=1}^N Y_i^2 - \left(\frac{1}{N} \sum_{j=1}^N Y_j\right)^2};$</p> </div> <div style="text-align: left;"> <p>3) $\sqrt{\frac{1}{N} \sum_{i=1}^N Y_i^2 - \left(\frac{1}{N} \sum_{j=1}^N Y_j\right)^2};$</p> <p>4) $\sqrt{\frac{1}{N} \sum_{i=1}^N Y_i^2}.$</p> </div> </div>